

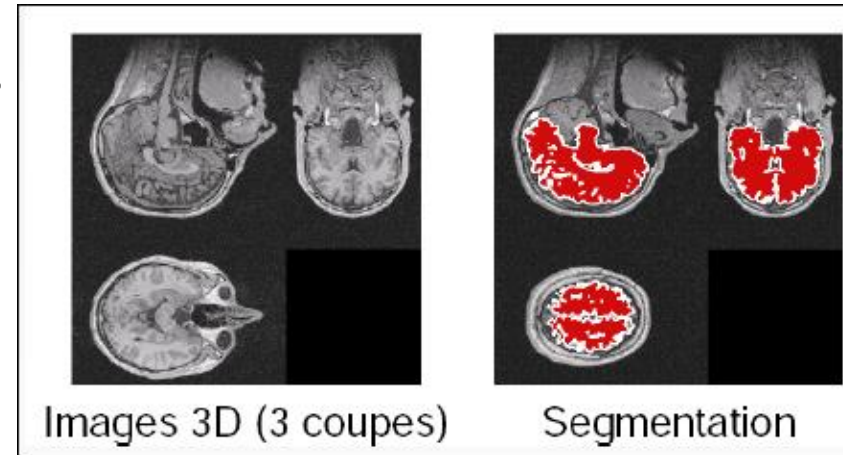
---

**Segmentation, détection et suivi d'objets**

# Chapitre 3

# Qu'est que la segmentation ?

- Décomposition d'une image en régions qui ont un sens
  - Etiquetage des pixels de l'image
  - Même couleur = même région
  - Critère d'homogénéité



- Facile pour un être humain : connaissance préalables, image vue dans sa totalité,
  - Approches régions : grouper les pixels semblables et former des régions homogènes
  - Approches frontières : rechercher pixels dissemblables pour former des contours entre zones homogènes
  - Eventuellement des approches hybrides (frontières et régions)

# Dans l'ancien temps...

---

- Approche « Frontières » : détection des contours....

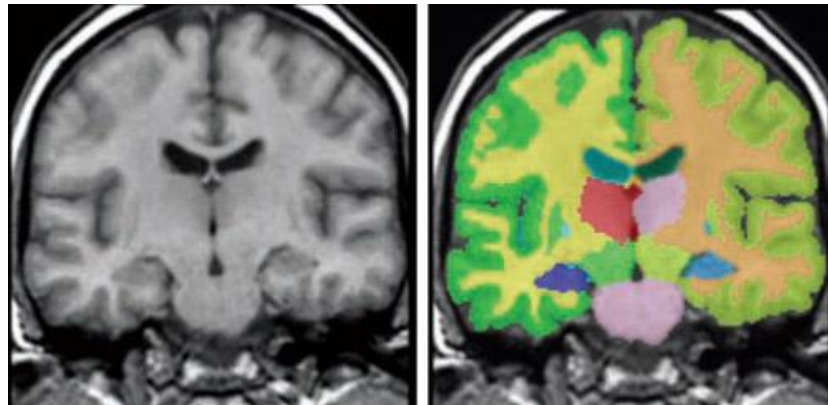
→ Cf chapitre précédent



- Approche « Région »

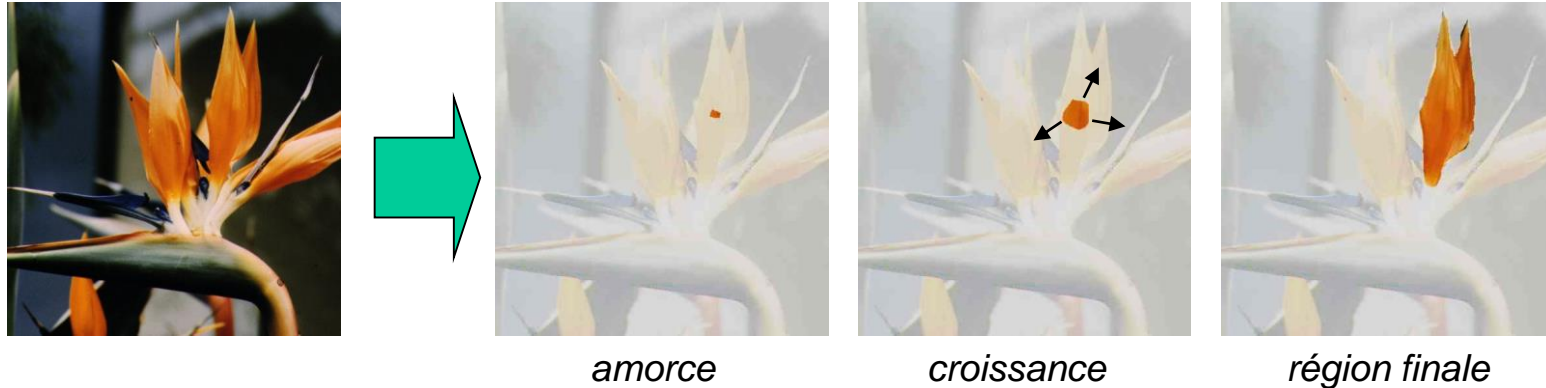
→ Question : comment détecter des régions ?

→ Question : Comment découper une images en régions ?



# Approche région : Croissance de région

- Idée: partir d'un point amorce (*seed*) et étendre en ajoutant les points de la frontières qui satisfont un critère d'homogénéité



- Le point amorce peut être choisi soit par un humain, soit de manière automatique en évitant les zones de fort contraste (gradient important) => *méthode par amorce*
- Le critère d'homogénéité est local (comparaison de la valeur du pixel candidat et du pixel de la frontière)

# Segmentation : Croissance de régions



Algorithme ?

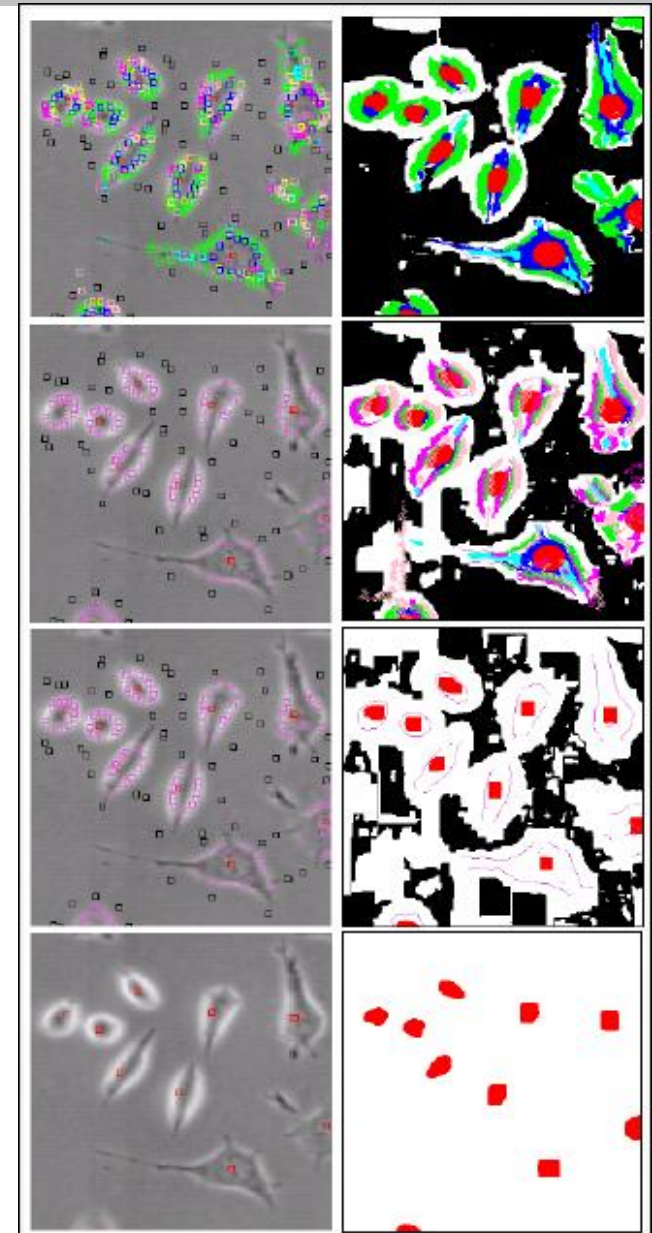
Pour chaque germe

Pour chaque voisin

Si (critère d'homogénéité vérifié  
ET pixel non labelisé)

Propagation du label région

On applique la même procédure récursivement



# Croissance de régions

---

## Avantages

- Méthode rapide
- Conceptuellement très simple

## inconvénients

- Problème du gradient 
  - Tenir compte de l'homogénéité globale donne un algorithme sensible à l'ordre de parcours des points (méthode par amorce)
  - Algorithme très sensible au bruit, peu stable
- Initialisation manuelle ou aléatoire
- Résultat dépendant des germes initiaux
- Méthode locale: aucune vision globale du problème. En pratique, il y a presque toujours un chemin continu de points connexes de couleur proche qui relie deux points d'une image...

# Split and Merge

---

## Principe :

- Découper l'image en arbre (SPLIT)
- Fusionner les parties homogènes (MERGE)



**Algorithme ?**

# Split and Merge

## SPLIT

### Principe :

- Découper l'image en arbre (SPLIT)
- Fusionner les parties homogènes (MERGE)

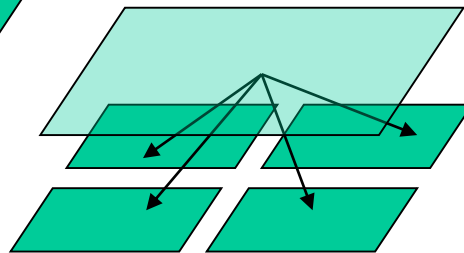
0	1	0	0	7	7	7	7
1	0	2	2	7	7	7	7
0	2	2	2	7	7	7	7
4	4	2	2	7	7	7	7
0	0	1	1	3	3	7	7
1	1	2	2	3	7	7	7
2	4	3	0	5	7	7	7
2	3	3	5	5	0	7	7

Image initiale



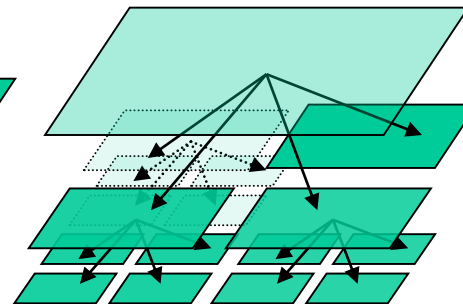
0	1	0	0	7	7	7	7
1	0	2	2	7	7	7	7
0	2	2	2	7	7	7	7
4	4	2	2	7	7	7	7
0	0	1	1	3	3	7	7
1	1	2	2	3	7	7	7
2	4	3	0	5	7	7	7
2	3	3	5	5	0	7	7

Split 1



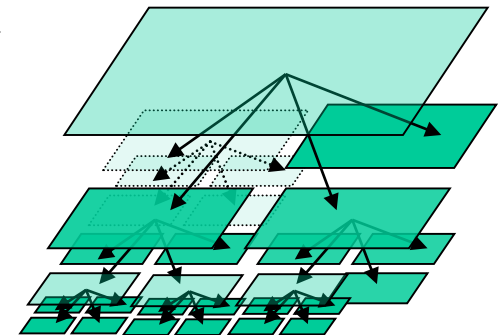
0	1	0	0	7	7	7	7
1	0	2	2	7	7	7	7
0	2	2	2	7	7	7	7
4	4	2	2	7	7	7	7
0	0	1	1	3	3	7	7
1	1	2	2	3	7	7	7
2	4	3	0	5	7	7	7
2	3	3	5	5	0	7	7

Split 2



0	1	0	0	7	7	7	7
1	0	2	2	7	7	7	7
0	2	2	2	7	7	7	7
4	4	2	2	7	7	7	7
0	0	1	1	3	3	7	7
1	1	2	2	3	7	7	7
2	4	3	0	5	7	7	7
2	3	3	5	5	0	7	7

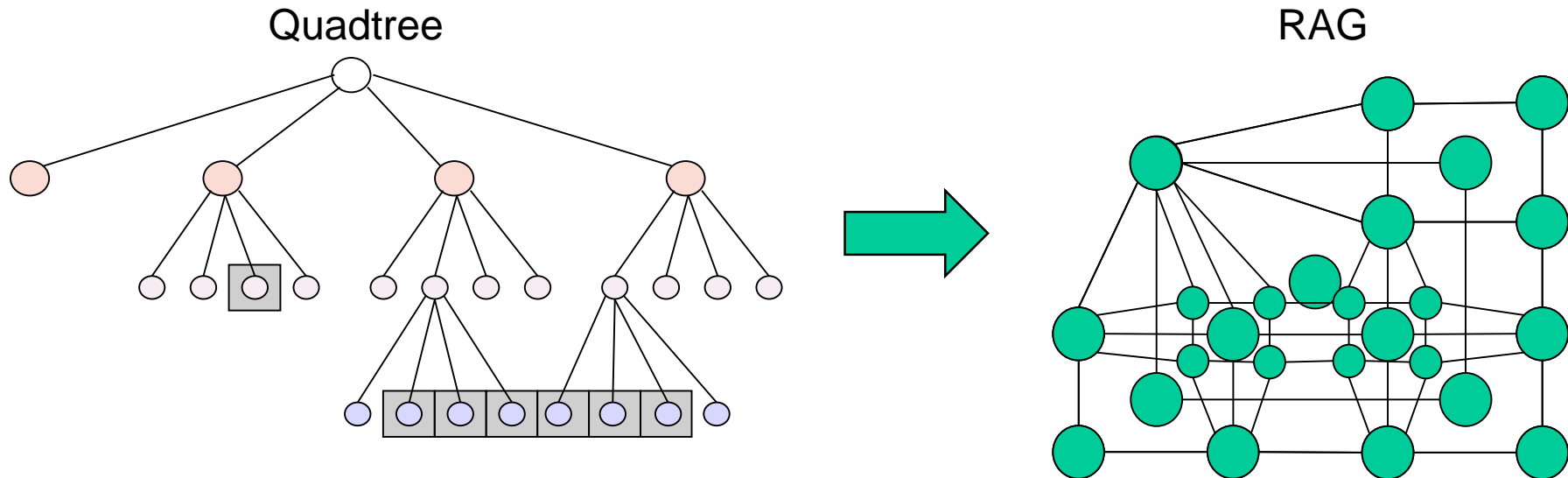
Split 3



# Split and Merge

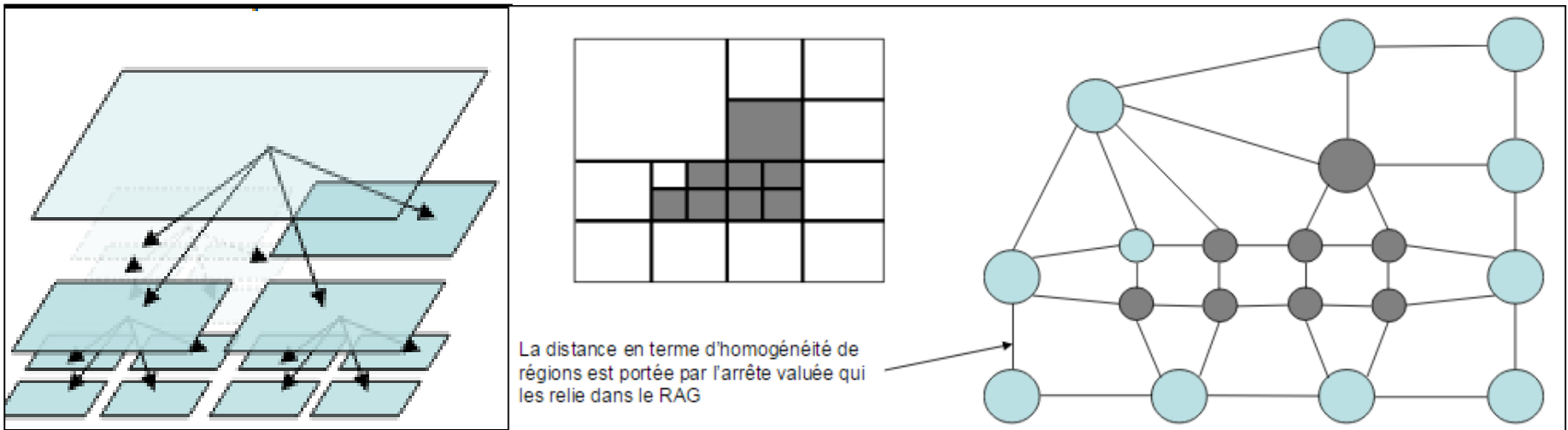
## MERGE

- Construire le RAG : graphe qui prend en compte l'adjacence
- Valeur des arrêtes : mesure de la différence d'homogénéité
- Fusion itérative des nœuds



# Split and Merge

- C'est l'approche duale de la croissance de région
- Temps de calcul assez longs
- Ces algorithmes s'adaptent facilement aux images 3D



# Ligne de partage des eaux

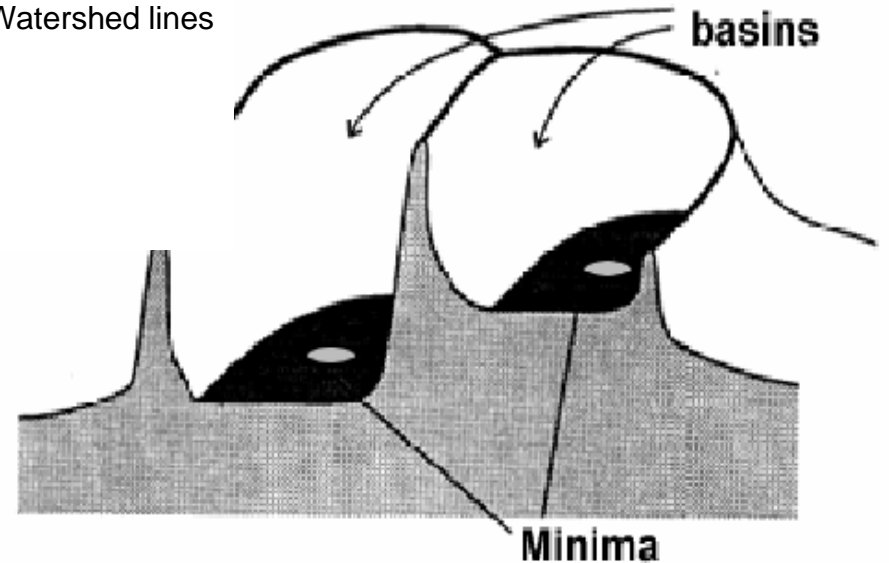
- Considérer une image comme une **carte topographique**.
- Principe : **inonder** cette carte topographique à partir de **sources** qui seront placées dans l'image.
- L'image finale sera composée de **bassins** (où l'eau s'est accumulée) et de **lignes** délimitant ces bassins.

1. Trouver les *minima* de l'image
  - $n_{\text{bassin}} = n_{\text{minima}}$
2. *Tant que*  $n_{\text{bassin}} > 1$  *faire*
  - inonder l'image à partir des minima
  - *Si* deux bassins communiquent *alors* un maximum local est trouvé *fin si*

*Fin tant que*

Watershed lines

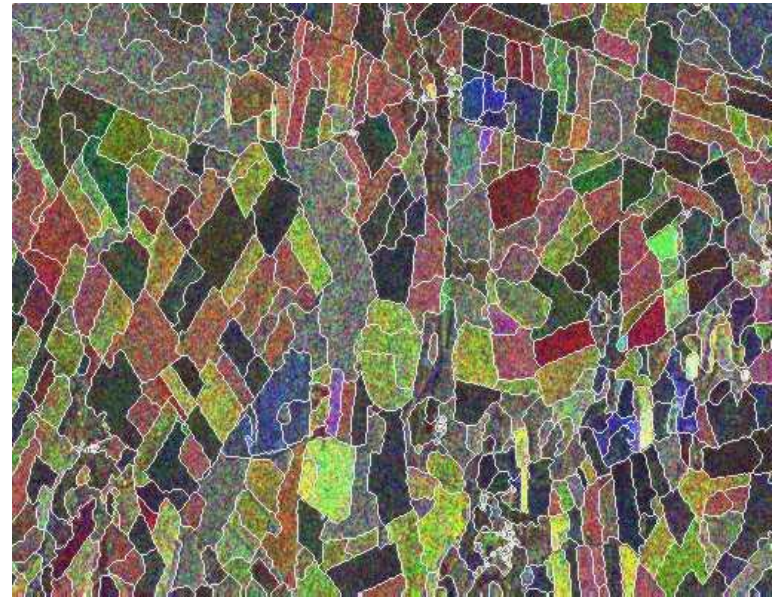
Catchment basins



# Ligne de partage des eaux

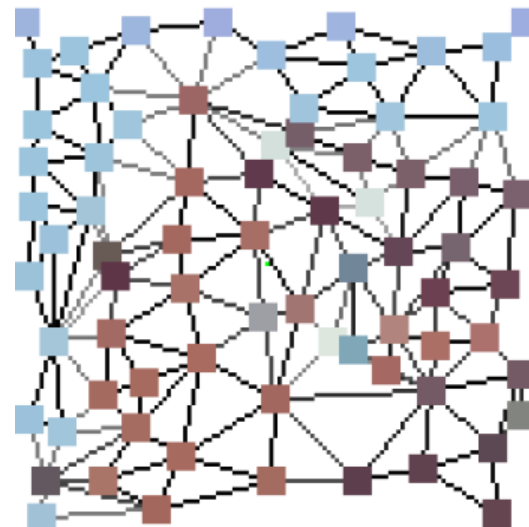
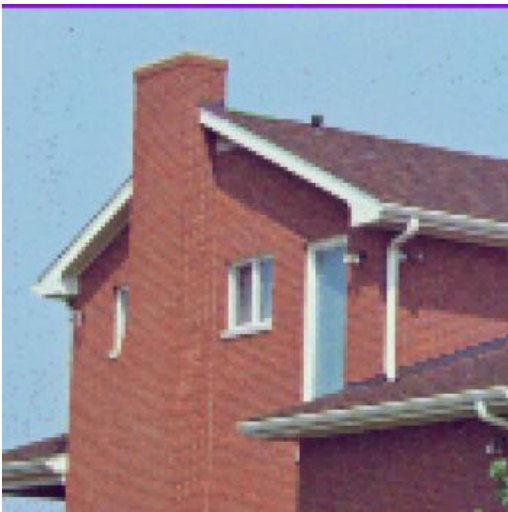
---

- Avantages:
  - Grande précision sur les frontières obtenues
  - Distinction parfaite de 2 régions collées
- Inconvénients:
  - Consommation de mémoire
  - Sensibilité au bruit
  - Sur-segmentation
  - Demande un post-traitement



# Region Adjacency Graph

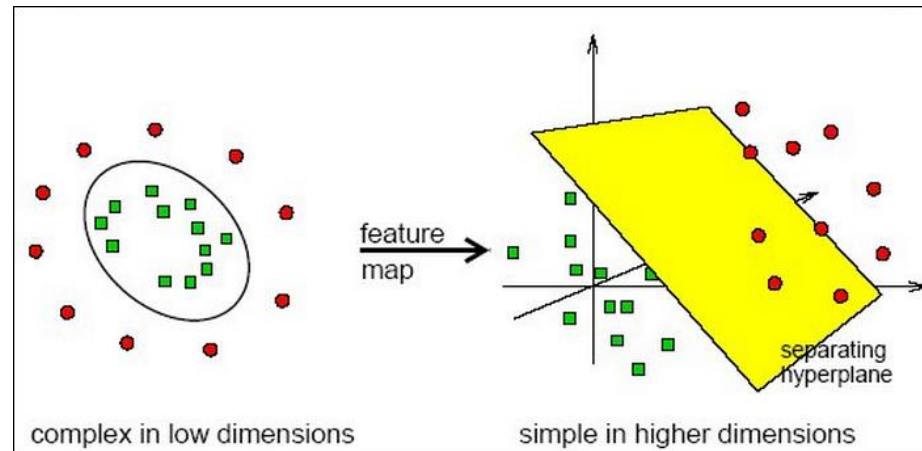
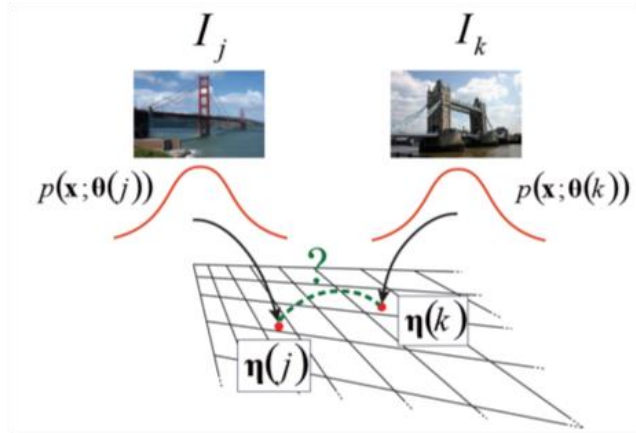
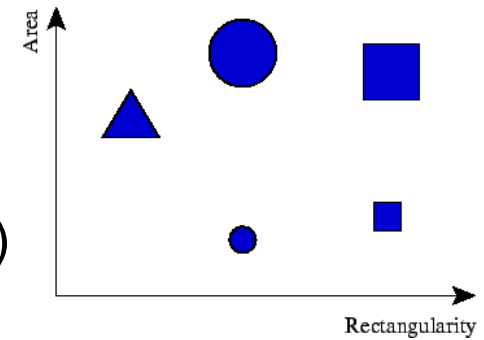
- Représentation d'images avec des graphes
- Manipulation de graphes
  - Nœuds ? Arcs ?
  - Fusion / Division
  - CF Option IA, GNN...



# Approche basée classification

## Principes

- $p$  caractéristiques  $\Rightarrow$  Vecteur  $\Rightarrow$  Point  $\in \mathbb{R}^p$
- Analyse statistique des vecteurs (modalités/voxels)



## Deux cas de figure :

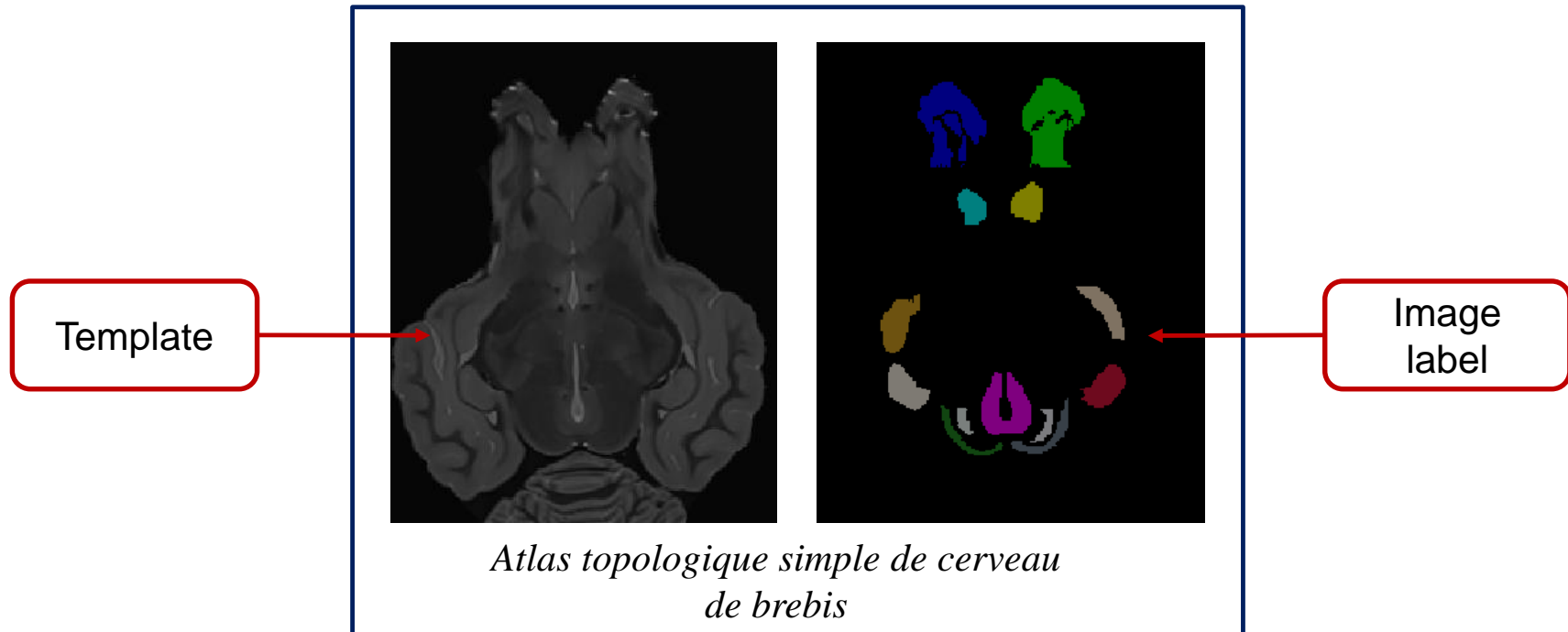
- Classification **supervisée** : on dispose d'un ensemble d'entraînement, à partir duquel on construit le classificateur
- Classification **non supervisée** : on dispose de vecteurs caractéristiques dont on ne connaît rien  $\Rightarrow$  Regroupement en vecteurs similaires pour former des agrégats (clusters)

# Approche probabiliste (Atlas)

## Atlas (volumique)

Information *a priori* spatiale sur la position et l'intensité des structures anatomiques

- **Différents types d'atlas :**
  - Simple

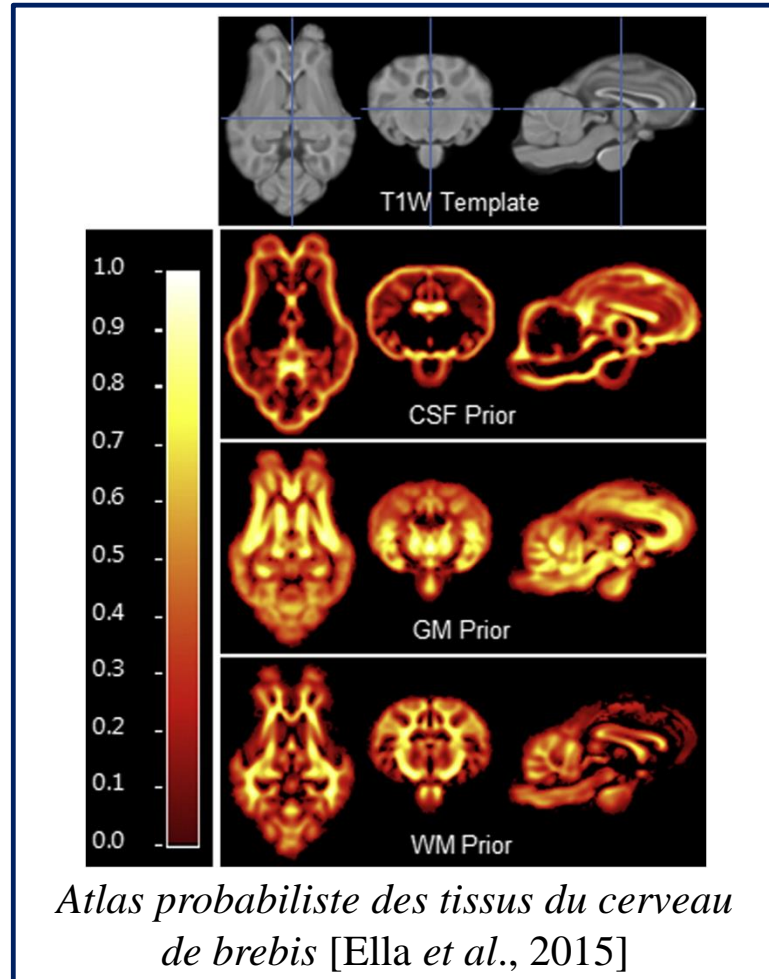


# Approche probabiliste (Atlas)

## Atlas (volumique)

Information *a priori* spatiale sur la position et l'intensité des structures anatomiques

- **Différents types d'atlas :**
  - Simple
  - Probabiliste

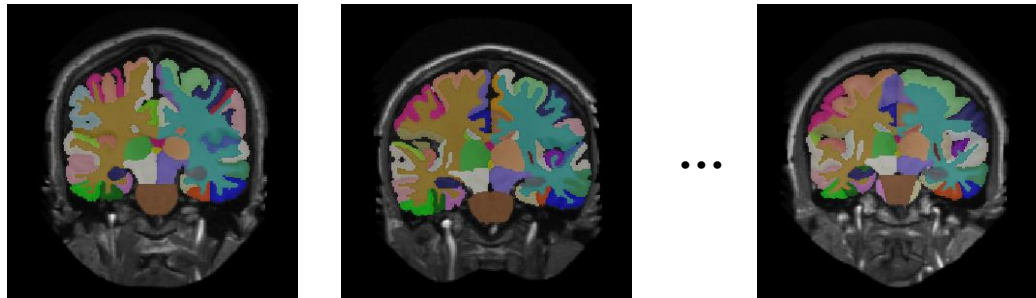


# Approche probabiliste (Atlas)

## Atlas (volumique)

Information *a priori* spatiale sur la position et l'intensité des structures anatomiques

- **Différents types d'atlas :**
  - Simple
  - Probabiliste
  - Multi-Atlas



*Multi-Atlas du cerveau humain de la base d'images utilisée lors du concours MICCAI'12 [2]*

# Approche probabiliste (Atlas)

## Mode d'utilisation des atlas

Méthode de recalage nécessaire lors de l'utilisation des atlas

- **Transformation :**

- Rigide
- Affine
- Non linéaire (TPS, B-spline, etc...)

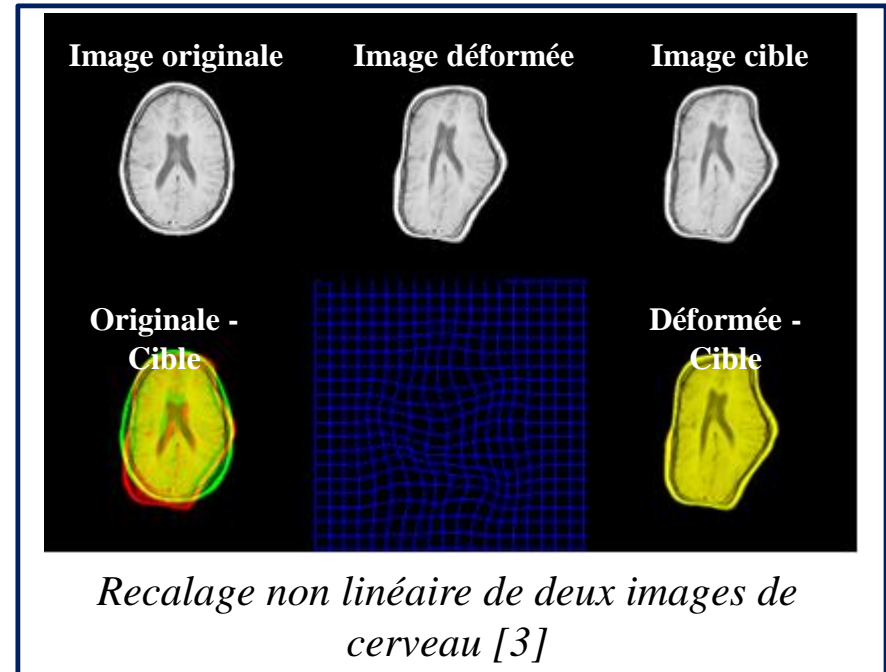
- **Métrique :**

- Somme des différences au carré
- Information mutuelle
- Cross-correlation

- **Propagation de label**

- **Fusion d'informations et décision :**

- Méthode de vote, pondéré globalement [Artaechevarria *et al.*, 2008] , pondéré localement [Isgum *et al.*, 2009] Joint label fusion [Wang *et al.*, 2013] , Generative model [Sabuncu *et al.*, 2010] , etc...
- Mélange de gaussiennes, Chaîne de Markov [Bricq *et al.*, 2006] , Champ de Markov [Scherrer *et al.*, 2009] , etc...



# Approches probabilistes (Atlas)

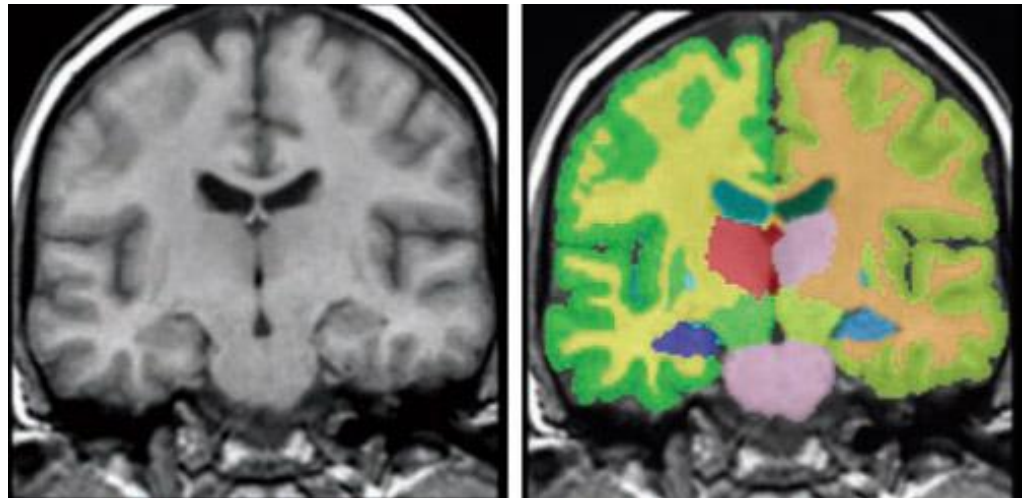
---

## Bilan

- **Idée** : les pixels sont des variables aléatoires représentant la probabilité d'appartenir à chaque classe
- Puis, estimation du maximum vraisemblance (MAP, EM,...)
- Chaîne de Markov : 2D représenté en 1D (parcours d'hilbert, Peano)
- Champs de Markov : Seul les voisins comptent

## Avantages/Inconvénients

- Exploitation de connaissance a priori (atlas prob.)
- Phase d'apprentissage
- Lent





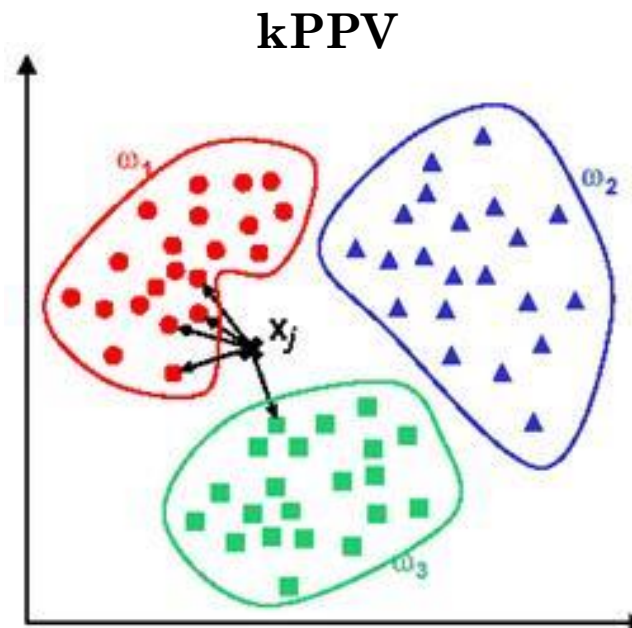
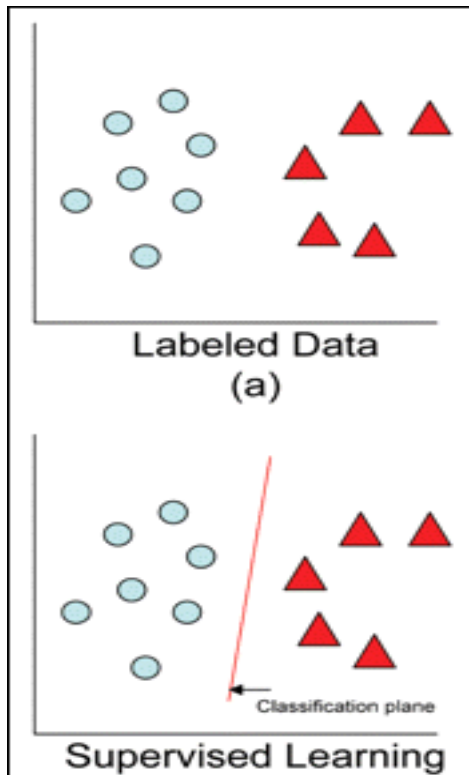
**Retour en DI4....**

**Comment segmenter une image avec une approche  
« analyse de données » / « classification de données » ?**

# Approche basée classification

## Exemple de classificateur : k - plus proches voisins (kPPV/kNN)

- On dispose d'un ensemble d'entraînement composé de vecteurs caractéristiques et de leur classe
- On classe le vecteur inconnu  $x$  dans la classe la plus représentée parmi les  $k$  plus-proches voisins du vecteur  $x$



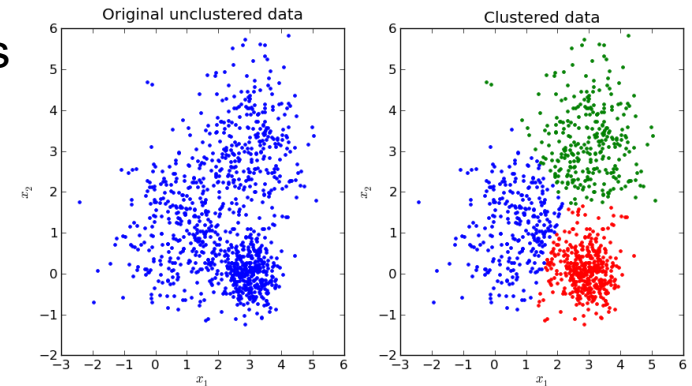
Utilisation en CV ?

# Approche basée classification

## Exemple de méthodes de clustering : k-means

- Lorsqu'on ne dispose pas d'échantillons classifiés  
⇒ **apprentissage impossible**
- On cherche à identifier K classes au moyen de leurs centres

**Objectif** : minimiser la variance intra-classe



### Algorithme :

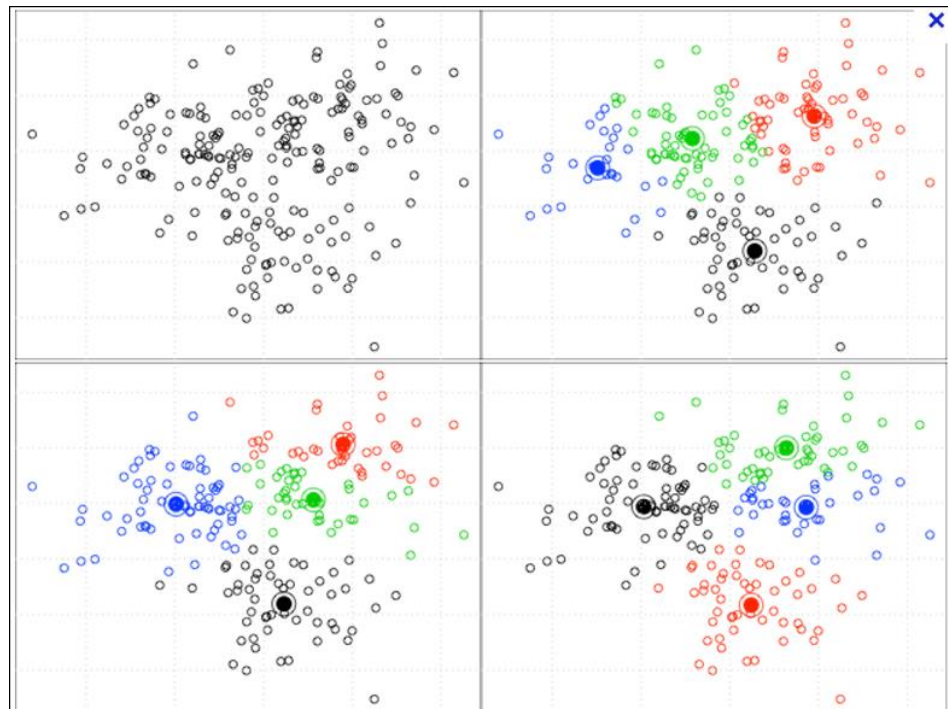
1 - choisir K centres arbitrairement

2 – répéter :

a/ affecter à chaque  $x$  son centre le plus proche

b/ recalculer le centre de chaque classe comme étant la moyenne des vecteurs de la classe

jusqu'à obtenir des moyennes stables.



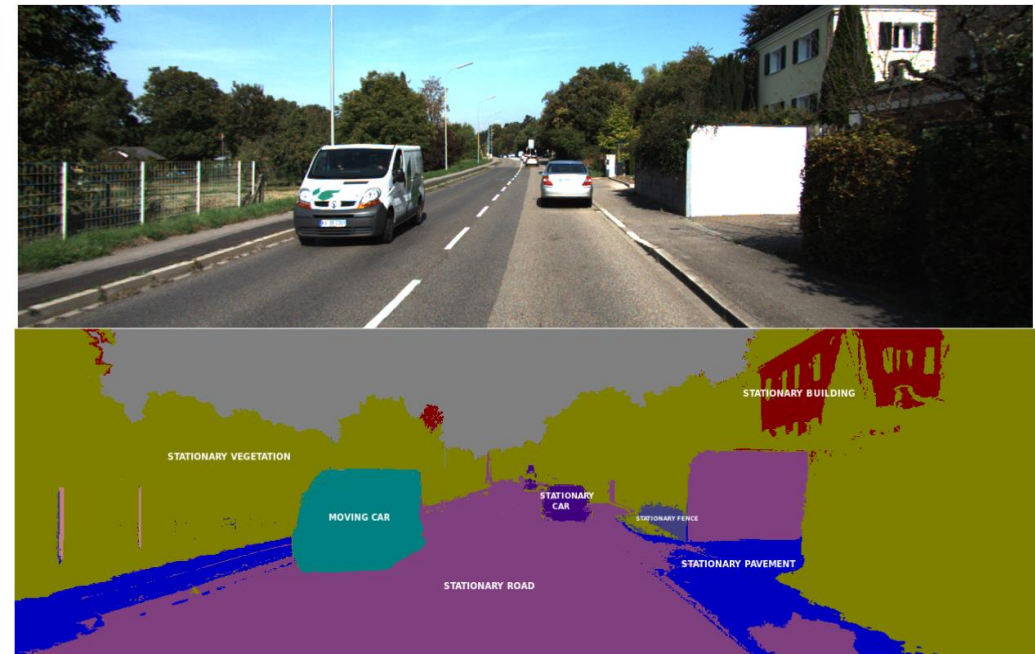
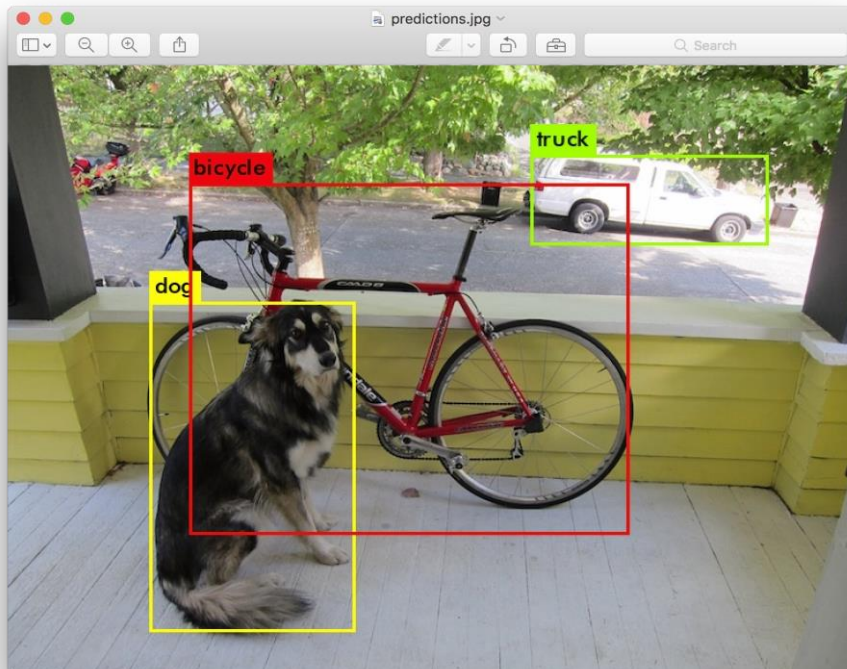
# Approche basée classification

## Deep learning et Images

Divers objectifs :

- Image classification
- Image tagging, object classification
- **Panoptic** / Semantic / Instance segmentation
- Visual Question Answering ...

*The label encoding of pixels in panoptic segmentation involves assigning each pixel of an image two labels – one for semantic label, and other for instance id.*



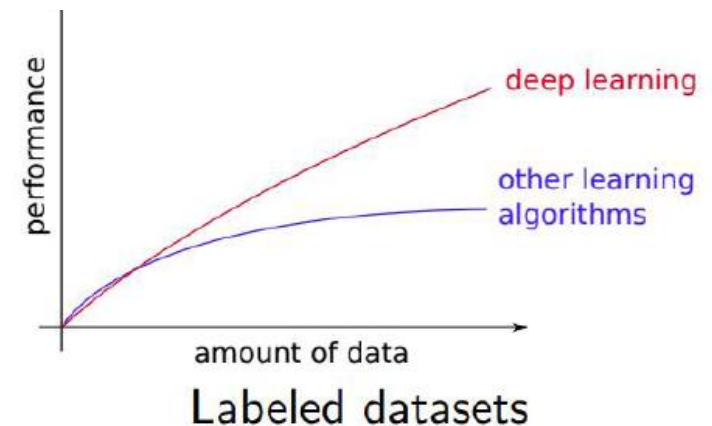
# Définitions et justifications

- “Deep Learning is learning good representations by composition of learned functions.” (From Yoshua Bengio)
  - Composition = Complicated functions are combinations of smaller, simpler functions.
- “Deep Learning is building a system by assembling parameterized modules into a computation graph, and training it to perform a task by optimizing the parameters using a gradient-based method.” (From Yann Lecun)
- So deep learning is (From Yoshua Bengio)
  - (1) an approach to machine learning
  - (2) usually based on artificial neural networks but not only
  - (3) based on learning multiple levels of representations or based on composing learned functions to learn good representations
  - (4) in order to achieve the learning of such good representations and perform well in machine learning tasks.

- Why now ?



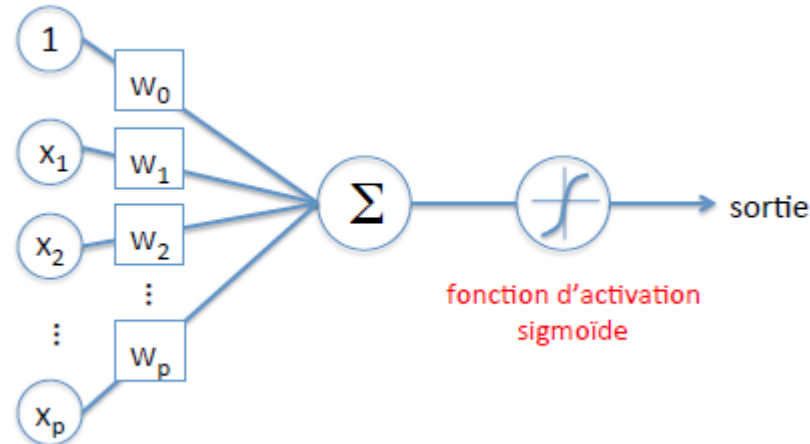
Computing power (GPUs)



# Principes de base...

## Encore une histoire de « neurones »...

**Entrée**  
(hand-crafted  
features)



**Prédiction**  
(decision)

Sortie :

$$g(\mathbf{x}) = \frac{1}{1 + \exp[-(w_0 + w_1x_1 + \dots w_px_p)]}$$

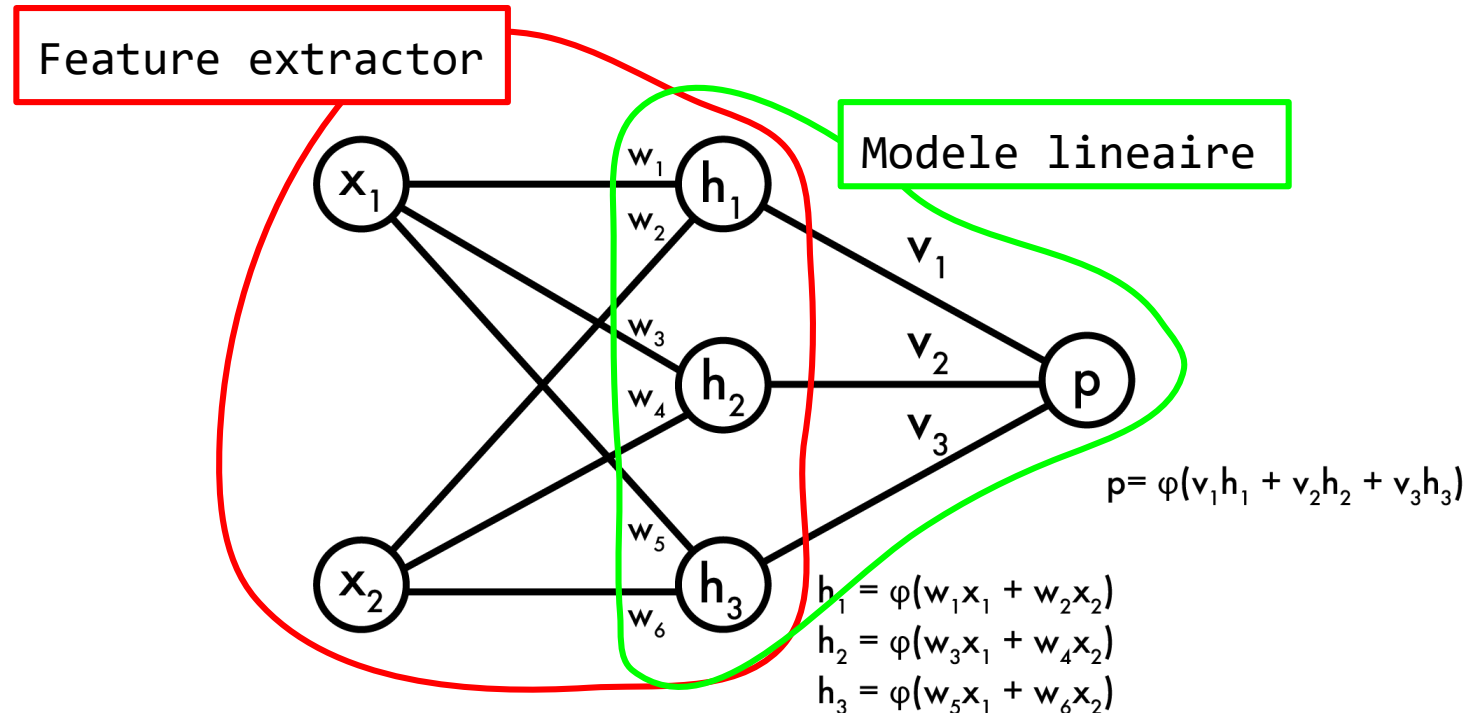
Au départ, le modèle de la régression logistique...

- Pas de couches cachées → On passe des entrées (features) à la décision directement
- Apprentissage des poids par minimisation de l'erreur de prédiction....

# Principes de base...

## Outrepasser le problème de "feature engineering"

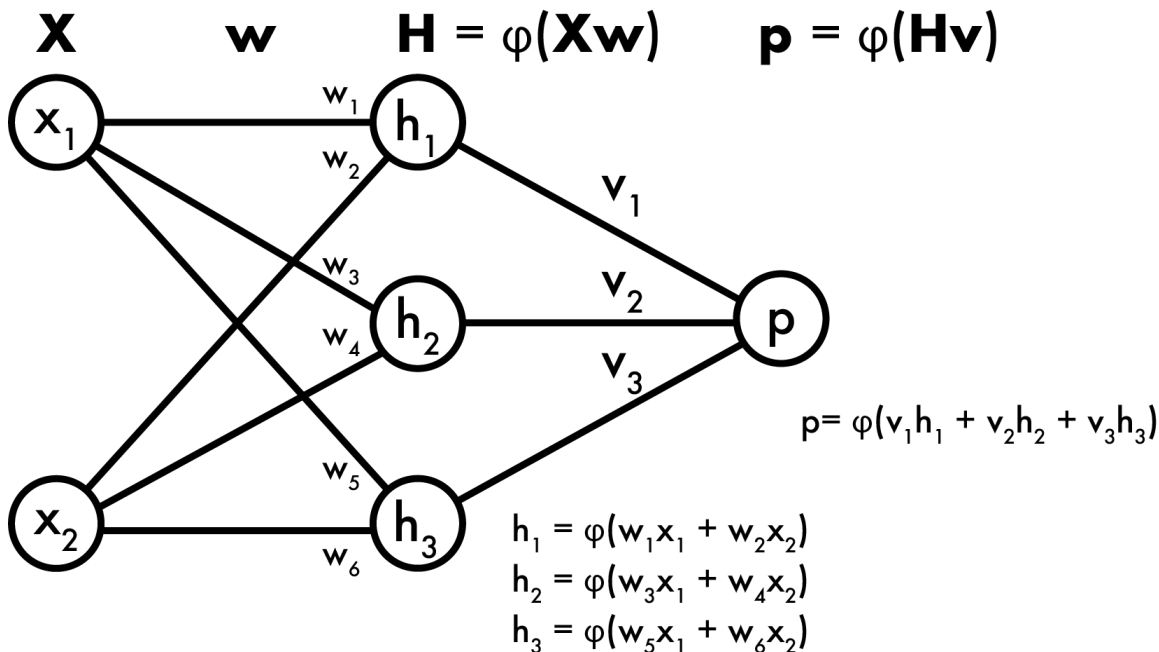
- Et si on ajoutait des transformations → couches cachées
- Maintenant, les prédictions  $p$  sont fonction de valeurs de la couche cachée



# Principes de base...

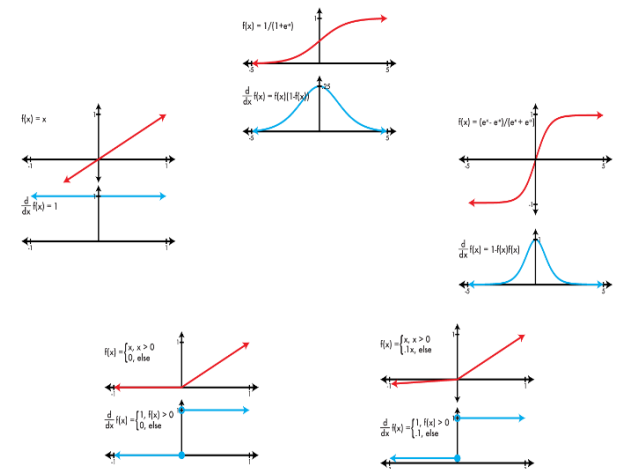
## Ici commence à apparaître la notion / question du Deep Learning

- Il est possible de multiplier le nombre de couches cachées
- Chaque couche correspondant à des fonctions  $\varphi$  appliquées aux combinaisons linéaires de la couche précédente



### What about activation functions $\varphi$ ?

- So many possible options
- want them to be easy to take derivative



# Principes de base...

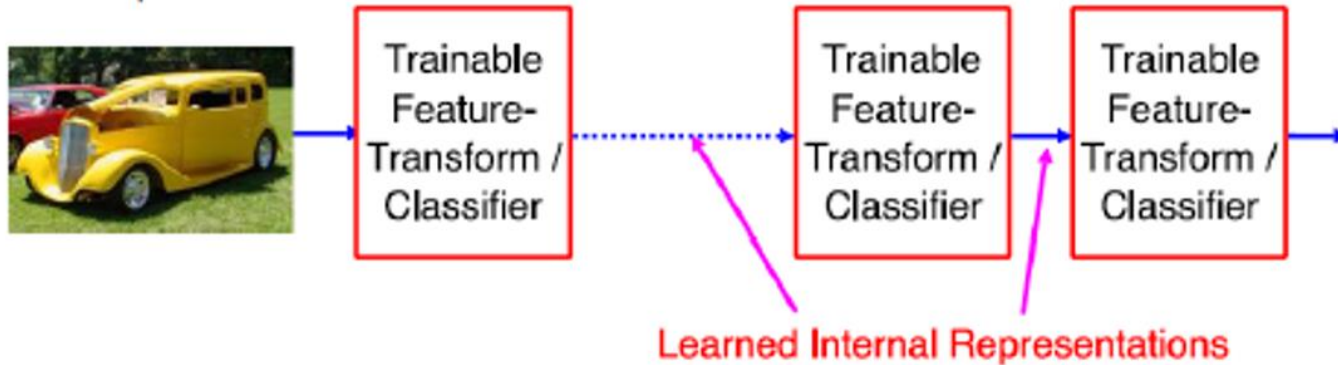


“Shallow” vs Deep Learning ?

▶ “Shallow” models



▶ “Deep” models



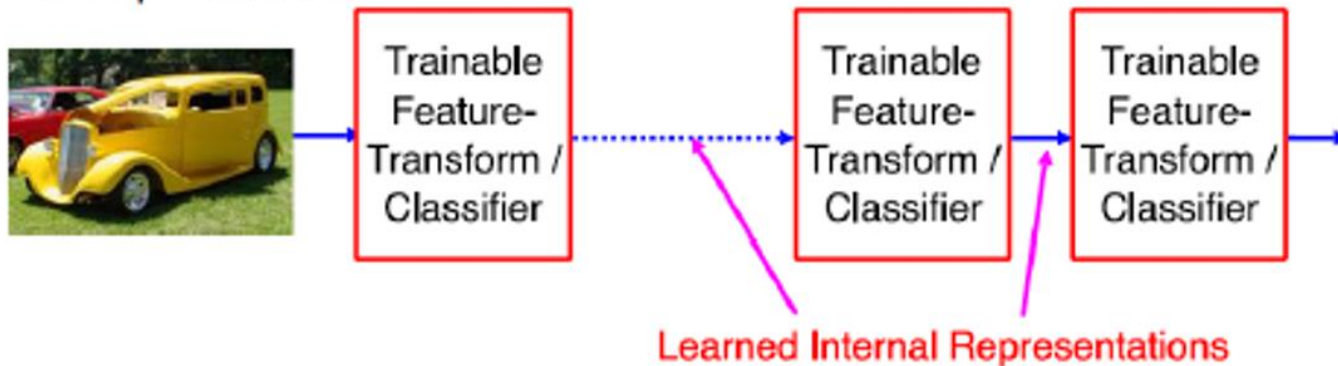
# Principes de base...

---

## Deep Learning → End-to-End learning

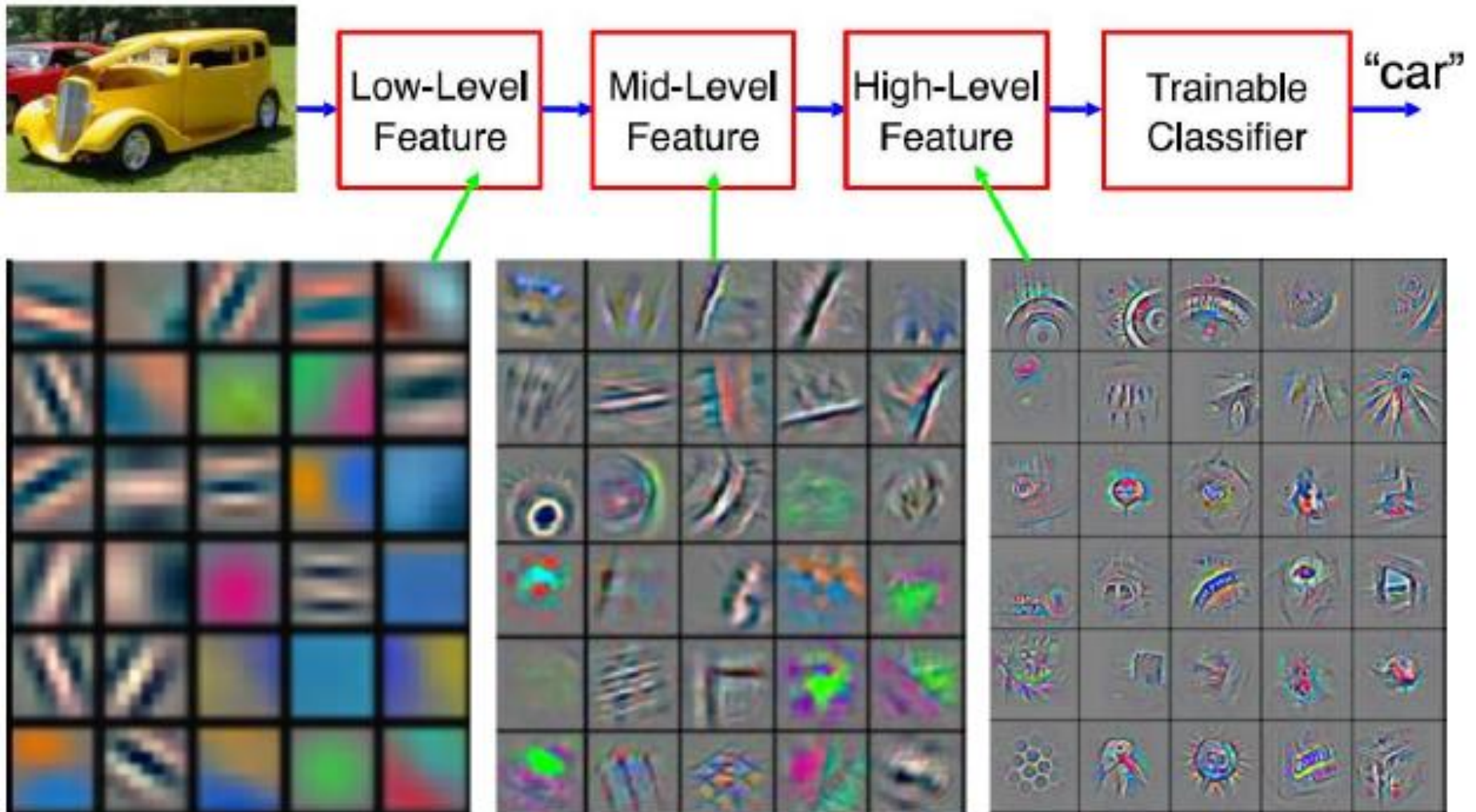
- Un empilement de modules de transformation de représentations
- Chaque module transforme les données d'entrée en une représentation de plus haut niveau sémantique
- Les **features** de bas niveau sont partageables / génériques
- Les **features** de plus haut niveau sont généralement plus structurées

### ▶ "Deep" models

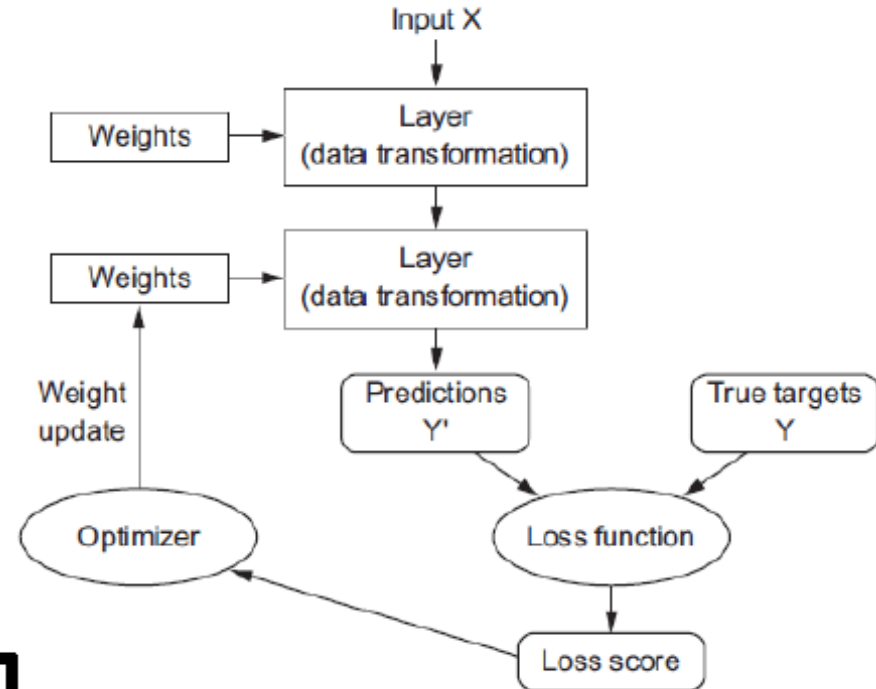
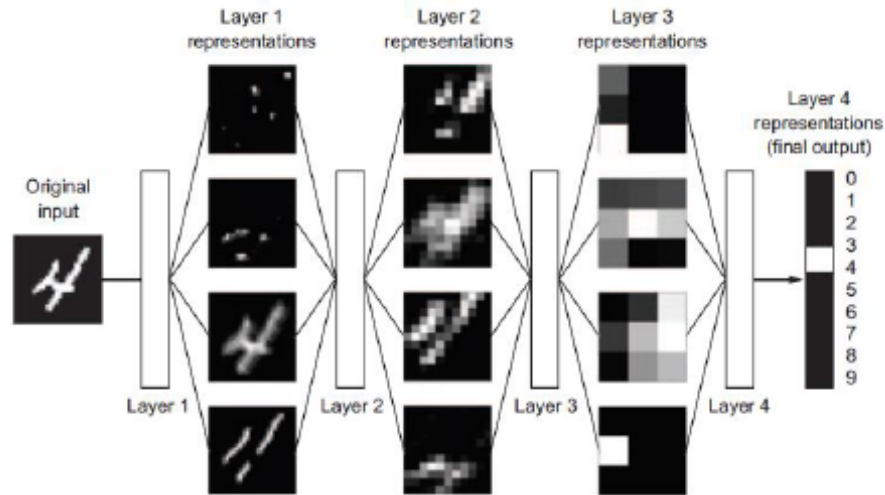


# Principes de base...

Apprentissage d'un empilement de représentations "abstraites"



# Apprentissage - Principes...

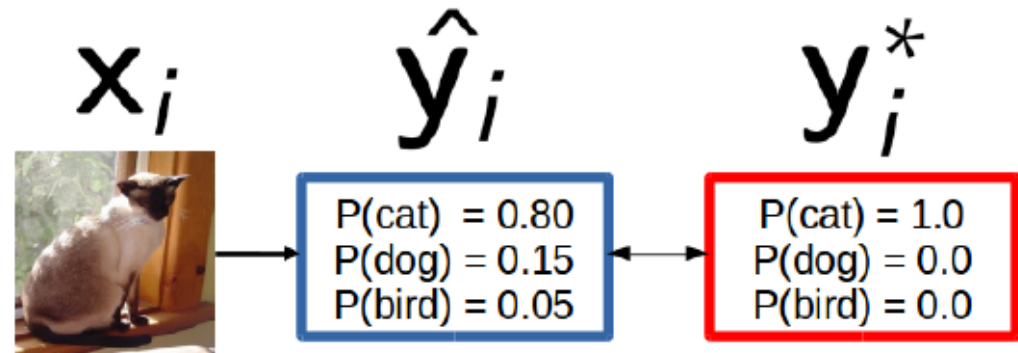


Deep Learning is about finding a good data representation with respect to an objective thanks to a composition of transformations (functions/layers)

# Apprentissage

## Apprentissage

- Apprentissage
  - Trouver les  $w_{ij}$  minimisant l'erreur d'apprentissage  $\ell(W)$  sur la base d'apprentissage



$$\ell_{CE}(\hat{y}_i, y_i^*) = KL(y_i^*, \hat{y}_i) = - \sum_{c=1}^K y_{c,i}^* \log(\hat{y}_{c,i}) = -\log(\hat{y}_{c^*,i})$$

- $\ell(W)$  servira de base à la définition de la fonction  $Loss() = \mathcal{L} \rightarrow$  à bien définir !
- Souvent  $Loss() MLP = \mathcal{L} =$  Moyenne des erreurs sur 1 lot d'apprentissage de taille N

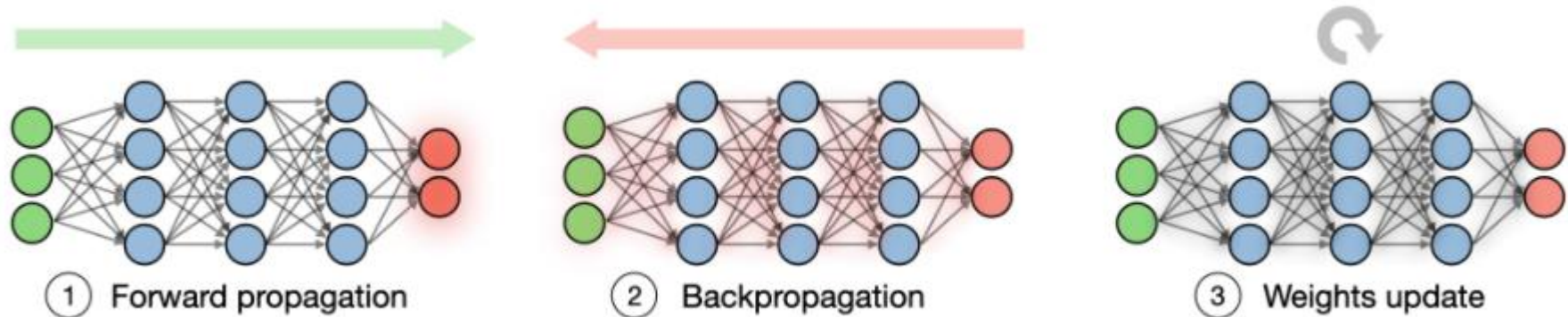
$$\mathcal{L}_{CE}(W, b) = \frac{1}{N} \sum_{i=1}^N \ell_{CE}(\hat{y}_i, y_i^*) = -\frac{1}{N} \sum_{i=1}^N \log(\hat{y}_{c^*,i})$$

- Utiliser la descente de gradient pour la minimisation de cette fonction

# Apprentissage

## Descente du gradient

- 3 étapes principales



- Processus itératif de modification des poids selon le signe du gradient :

$$W^{(t+1)} = W^{(t)} - \eta \frac{\partial \mathcal{L}_{CE}}{\partial W}$$

–  $\eta$  est le taux d'apprentissage

Sur la base d'appr.  $\left| \nabla_w^{(t)} = \frac{1}{N} \sum_{i=1}^N \frac{\partial \ell_{CE}(\hat{y}_i, y_i^*)}{\partial w} (w^{(t)}) \right.$

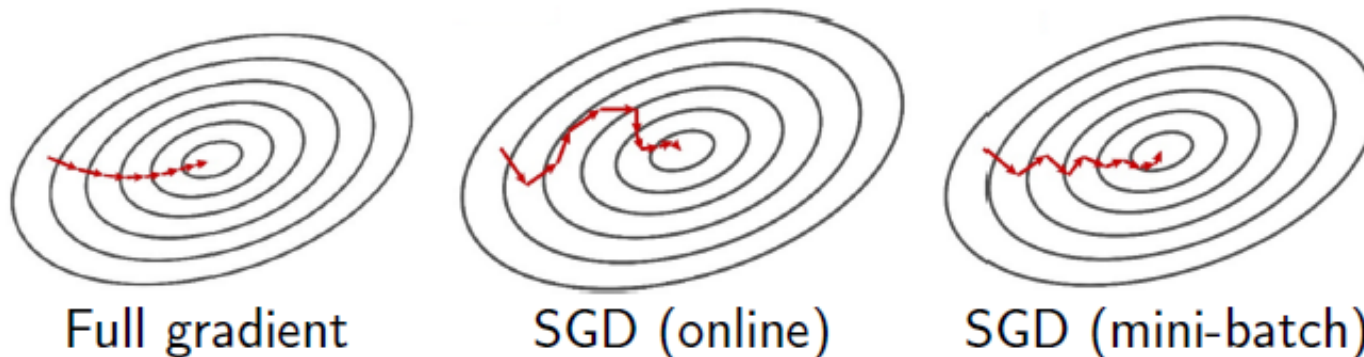
- La propriété principale exploitée : chaîne de dérivation (chain rule)
- **Pour un MLP :**

$$\frac{\partial x}{\partial z} = \frac{\partial x}{\partial y} \frac{\partial y}{\partial z} \rightarrow \boxed{\frac{\partial \ell_{CE}}{\partial W} = \frac{\partial \ell_{CE}}{\partial \hat{y}_i} \frac{\partial \hat{y}_i}{\partial s_i} \frac{\partial s_i}{\partial W}}$$

# Apprentissage

## Descente du gradient

- Le gradient peut être calculé pour
  - Toute la base  $N$  exemples  $\rightarrow$  Full-Gradient  $\rightarrow$  Convergence très lente !
  - Chaque exemple  $\rightarrow$  gradient stochastique (SGD)
  - Un mini-batch  $\rightarrow$  1 sous-partie  $B$  de la base d'apprentissage  $N \rightarrow$  **Nb batches =  $N / B$**
  - SGD  $\rightarrow$  Beaucoup mises à jour de paramètres :  $N$ ,
  - Mini-batch  $\rightarrow N / B \rightarrow$  Convergence plus rapide
  - Approximation du vrai gradient



- 1 époque = 1 exploitation de tous les exemples de la base d'apprentissage

# Apprentissage

## Réglages des hyper-parametres

- Choix de la valeur du Learning Rate  $\eta$  ?
- Diminution pendant la progression de l'apprentissage
  - Décroissance inverse :  $\eta = \eta_0 / (1 + \lambda.t)$ ,  $\lambda$  = taux de décroissance
  - Décroissance exponentielle :  $\eta = \eta_0 \cdot \exp(\lambda.t)$ ,
  - Décroissance par paliers :  $\eta = \eta_0 \cdot r^{(t/t_u)}$

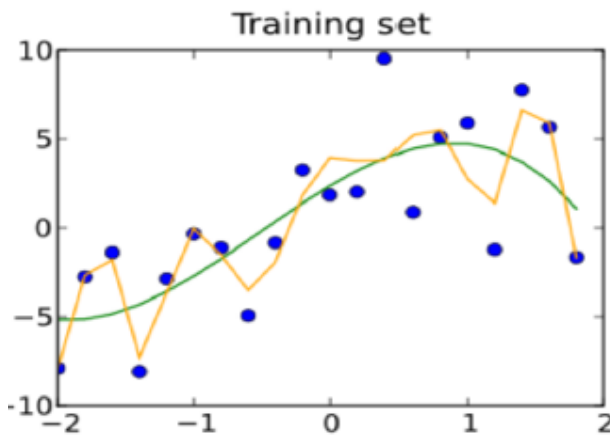
Method	Explanation	Update of $w$	Update of $b$
Momentum	<ul style="list-style-type: none"> <li>• Dampens oscillations</li> <li>• Improvement to SGD</li> <li>• 2 parameters to tune</li> </ul>	$w - \alpha v_{dw}$	$b - \alpha v_{db}$
RMSprop	<ul style="list-style-type: none"> <li>• Root Mean Square propagation</li> <li>• Speeds up learning algorithm by controlling oscillations</li> </ul>	$w - \alpha \frac{dw}{\sqrt{s_{dw}}}$	$b \leftarrow b - \alpha \frac{db}{\sqrt{s_{db}}}$
Adam	<ul style="list-style-type: none"> <li>• Adaptive Moment estimation</li> <li>• Most popular method</li> <li>• 4 parameters to tune</li> </ul>	$w - \alpha \frac{v_{dw}}{\sqrt{s_{dw}} + \epsilon}$	$b \leftarrow b - \alpha \frac{v_{db}}{\sqrt{s_{db}} + \epsilon}$

Remark: other methods include Adadelta, Adagrad and SGD.

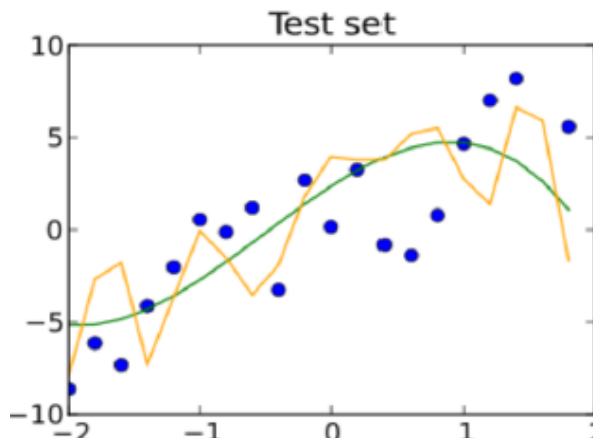
# Apprentissage

## Réglages des hyper-parametres

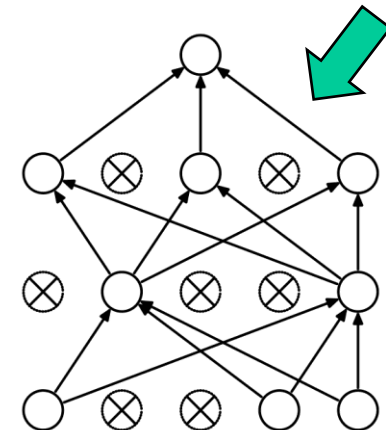
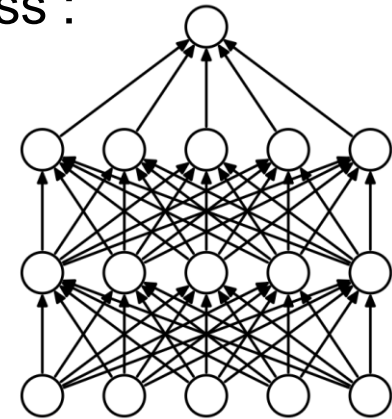
- Régularisation : amélioration de la généralisation, c'est-à-dire des performances sur la base de test
  - Régularisation structurelle: ajouter un terme  $R(w)$  dans la Loss :
  - $\mathcal{L}(w) = \mathcal{L}_{CE}(w) + \lambda.R(w)$
  - Régularisation dropout : désactivation aléatoire de neurones / epoch
  - Régularisation  $L_2$  :  $\downarrow\downarrow$  des poids,  $R(w) = \|w\|^2$
  - Régularisation  $L_1$ , ...



$$\mathcal{L}_{train} = 4, \mathcal{L}_{train} = 9$$



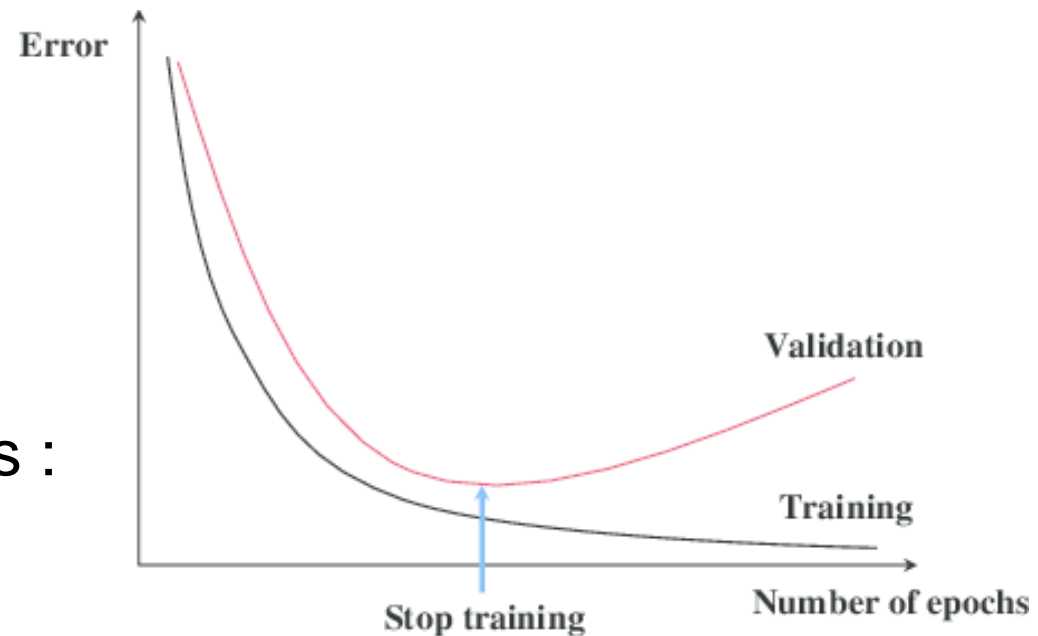
$$\mathcal{L}_{test} = 15, \mathcal{L}_{test} = 13$$



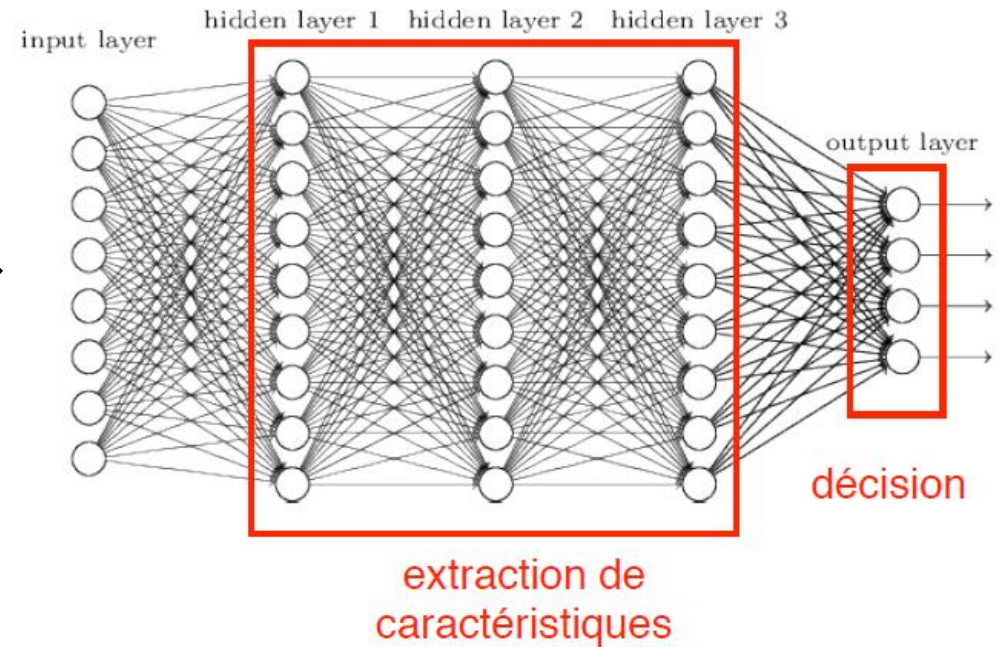
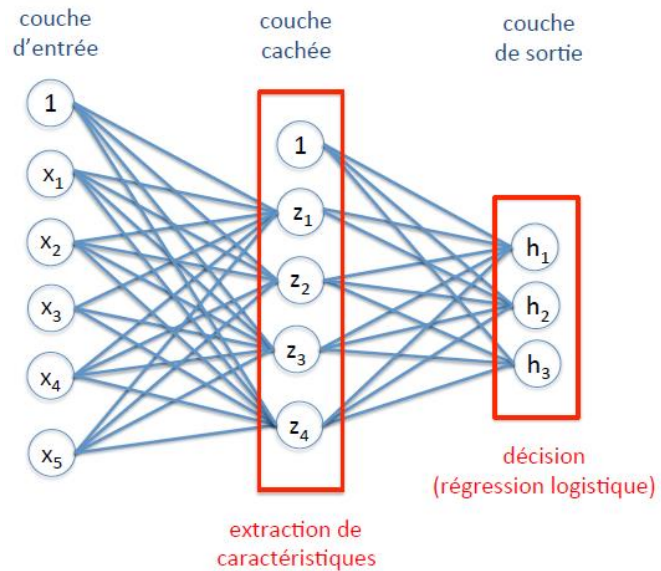
# Apprentissage

## Réglages des hyper-parametres

- Paramètres d'apprentissage :
  - taux d'apprentissage, décroissance des poids, taille des mini batch, # époques, etc.
- Paramètres architecturaux :
  - nombre de couches, nombre de neurones,
  - type de non-linéarité,
  - etc.
- Réglage des hyper-paramètres :
  - estimer les performances sur un ensemble de validation en // de l'apprentissage



# Fully Connected Networks (FCN)



## Problèmes:

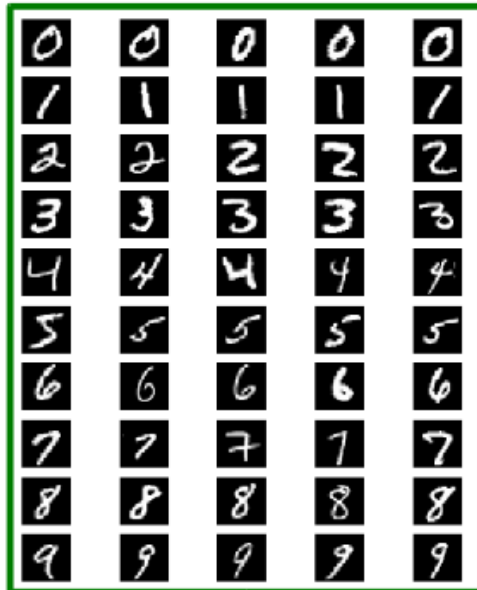
- Dimension d'entrée ( $3 \times d$ ) - Nb pixels rgb !
  - Très grand nombre de variables ( $W$ )
  - L'apprentissage des poids se fait en minimisant une fonction d'erreur (Loss function) non-convexe  $\rightarrow$  beaucoup de minima locaux.
- $\rightarrow$  Nécessité de grosses capacités de calcul

$\rightarrow$  Nécessité de simplifier le PB : FCN  $\rightarrow$  CNN

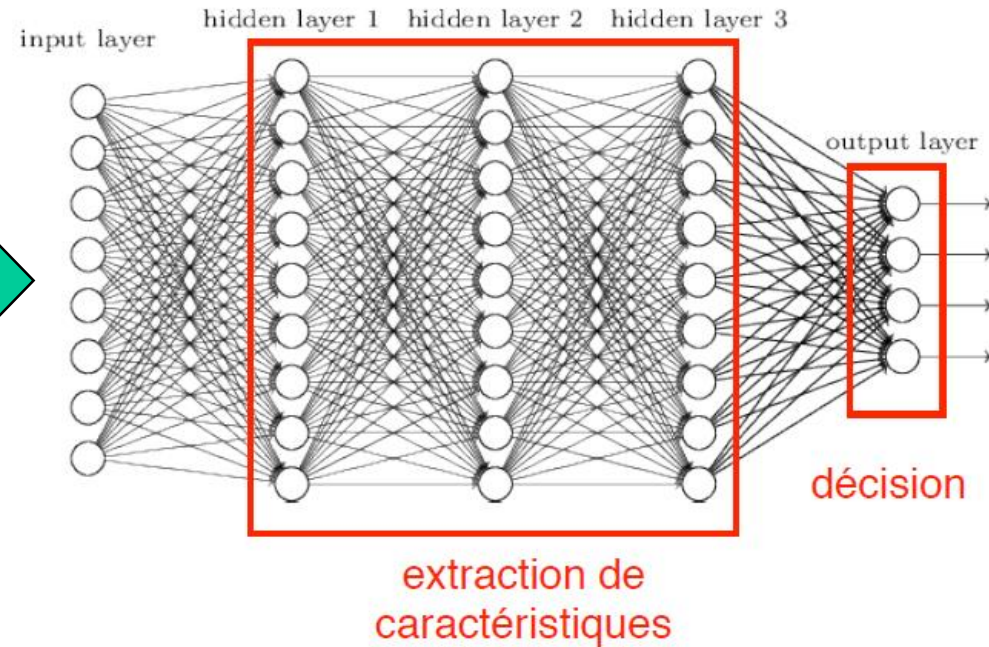
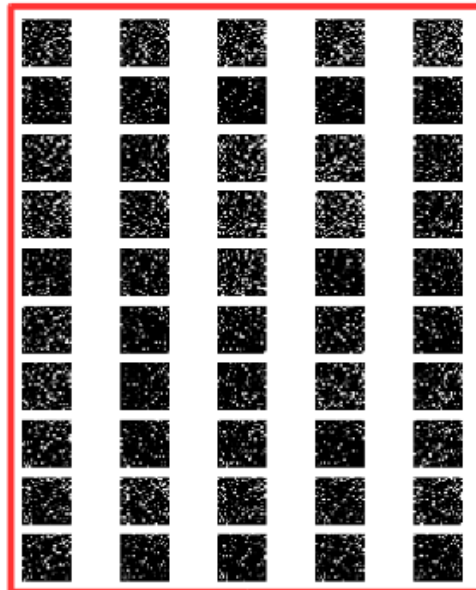
- $X \in \mathbb{R}^{m \times d}$  : input  $m = nb \text{ images}$
- $X_i \in \mathbb{R}^{1 \times d}$   $n = nb \text{ outputs}$
- $d$  : 640x480 pixels = 307200
- $W \in \mathbb{R}^{d \times n}$
- $B \in \mathbb{R}^n$  ;  $\sigma(a)$  ;  $\hat{Y} \in \mathbb{R}^{m \times n}$  : output
- $\hat{Y} = \sigma(XW + B)$
- Issues :
  - $W$  : is huge (one parameter by pixel)
  - An image is reduced to a vector :
    - Spatiality is lost

# Les CNN à la rescousse...

Initial Images



Permuted Images



## Problèmes:

- Mêmes performances d'un FCN sur des images permutés car pas de prise en compte de la topologie ( images  $\rightarrow$  Vecteur 1D  $\rightarrow$  FCN )
- Prise en compte de la topologie + Réduction du nombre de paramètres

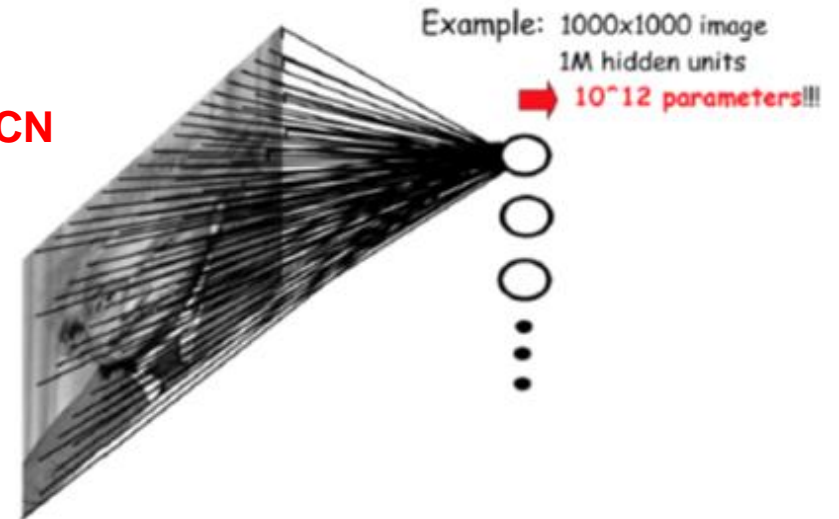
**$\rightarrow$  Sparse connectivity dans les CNN**

# Les CNN à la rescousse...

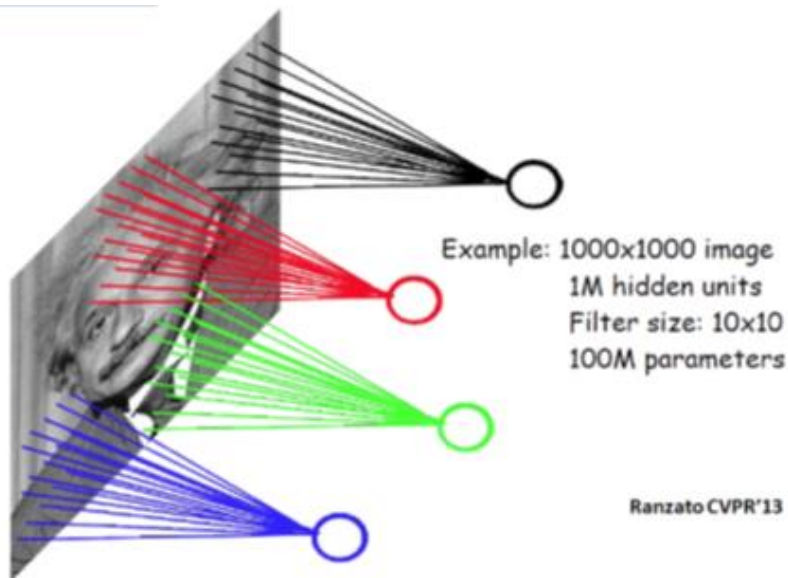
## Réduction de complexité

Prior knowledge	CNN operation
Self similarity (Stationarity)	Shared parameters
Locality	Local connection
Translation invariance	Pooling
Compositionality	Stackable

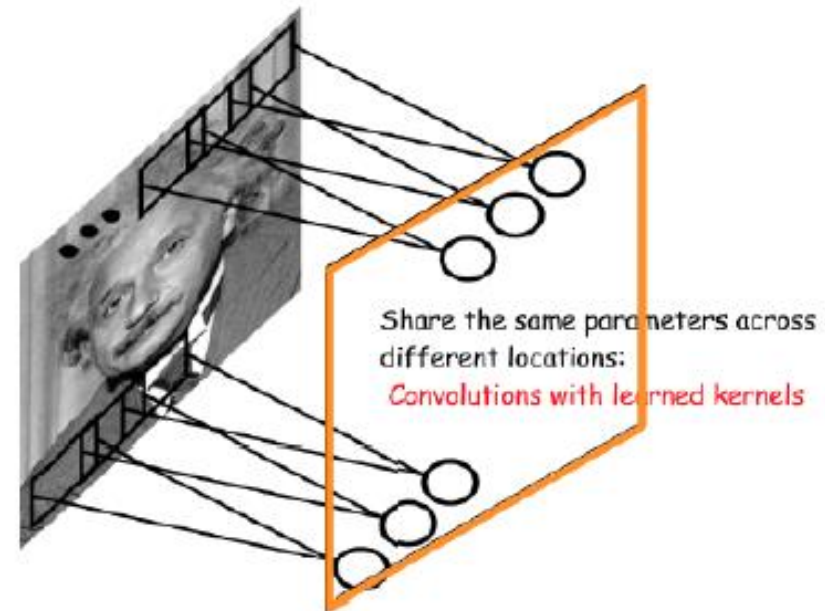
FCN



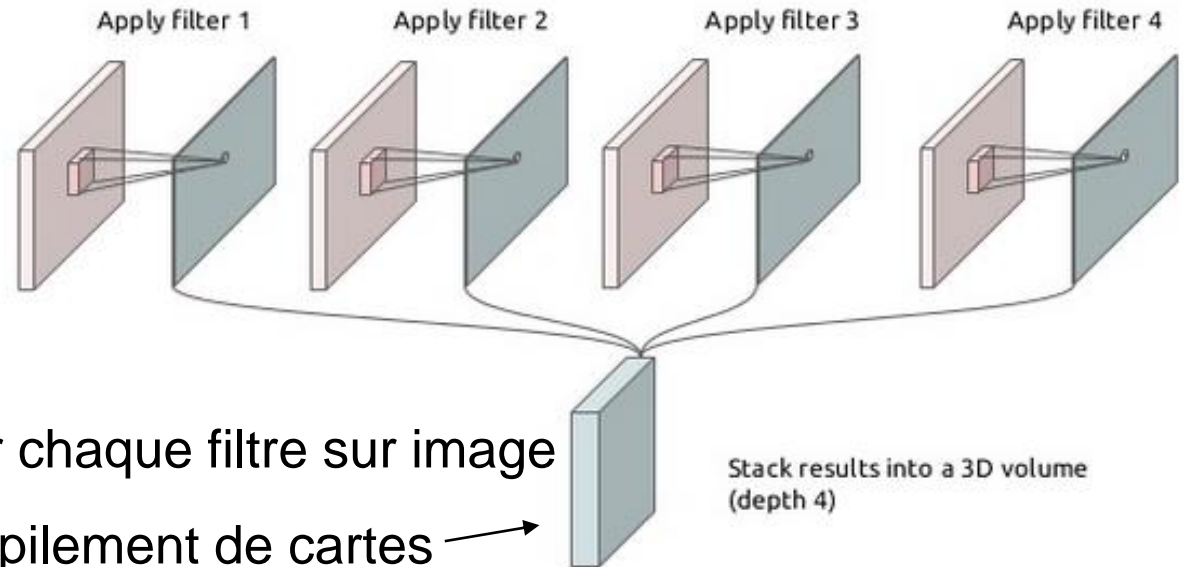
CNN → Localité → Topologie



CNN → partage de W → auto-similarité



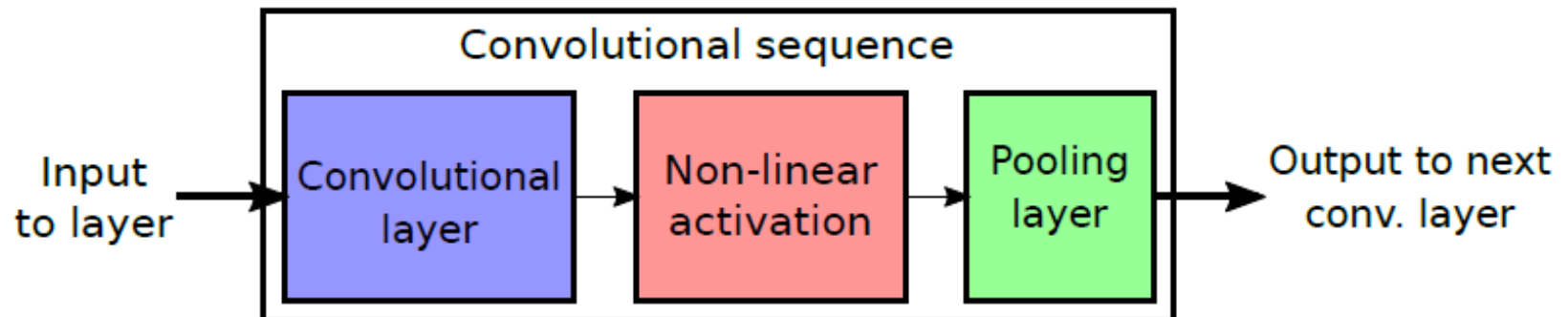
# Les CNN : Tensors + Séquence de convolution



- Convolution 2D  $\rightarrow$  1 carte pour chaque filtre sur image
- Couches de convolution  $\rightarrow$  empilement de cartes provenant de plusieurs filtres

- **Tensor = tableau multidimensionnel**

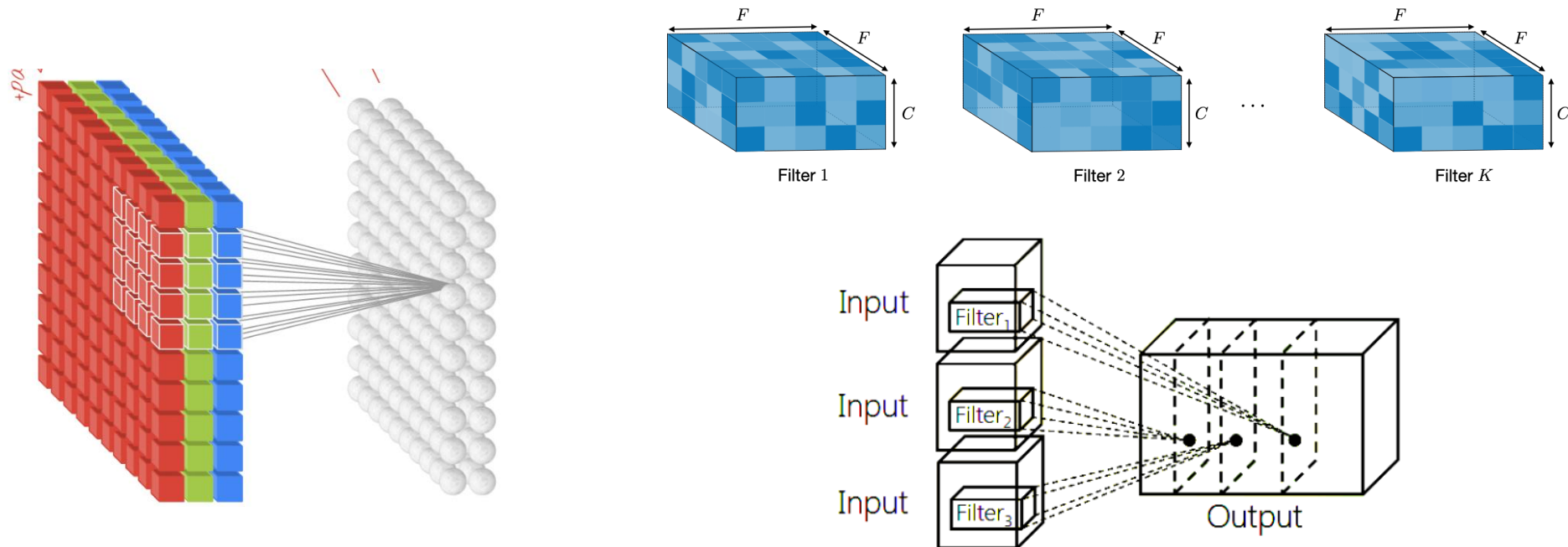
- **Séquence de convolution classique :**



# Les CNN : Convolution

- Convolution 2D ( $F \times F$ ) vs Convolution sur Tenseurs ( $F \times F \times C$ )
- Notion de profondeur ( $C = \text{depth}$ ) - Images RVB ( $C=3$ )
- **RN → Ajout d'un biais dans les convolutions sur tenseur** (+1 paramètre)

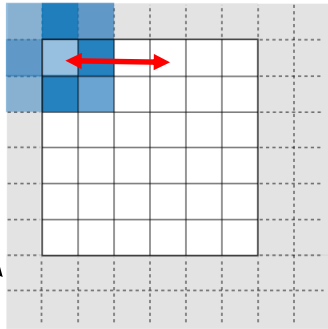
$$f'(i, j) = (f \star h)(i, j) = \sum_{k=1}^K \sum_{n=-\frac{d-1}{2}}^{\frac{d-1}{2}} \sum_{m=-\frac{d-1}{2}}^{\frac{d-1}{2}} f(i-n, m-j, k) h(n, m, k) + b$$



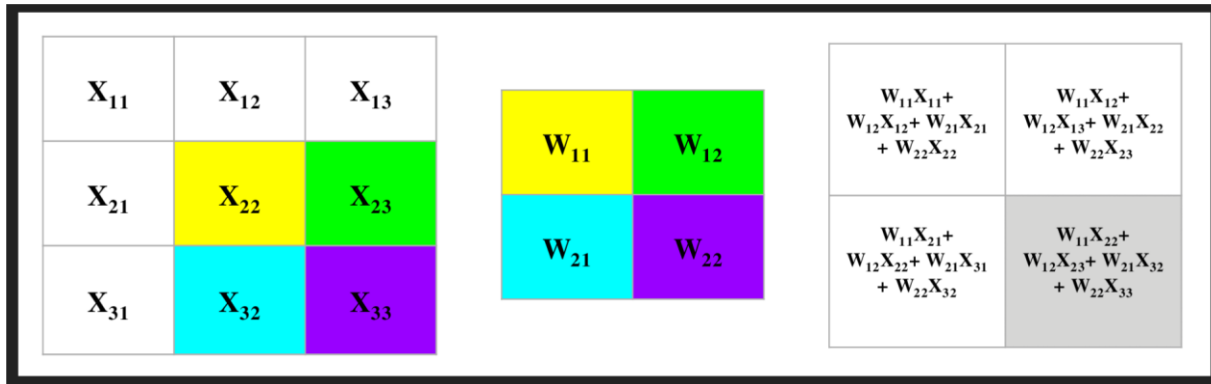
# Les CNN : Convolution

## Les paramètres associés aux couches de convolution

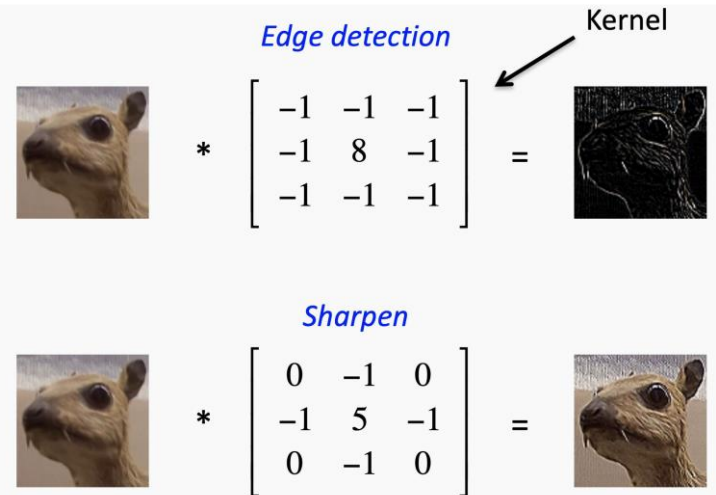
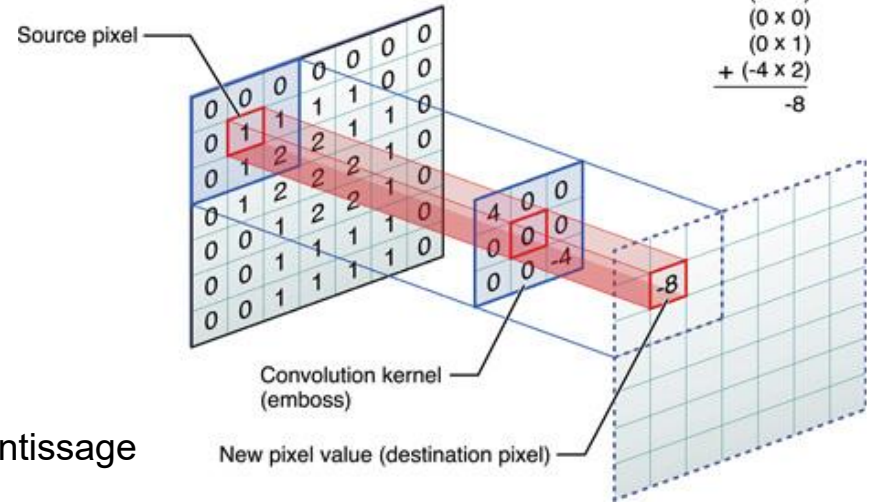
- **Nombre et taille** des filtres de convolution
- **Stride** = Décalage en nb de pixels
- **Padding** = Gestion des bords de l'image



- Les **poids  $w$**  des filtres et les biais sont appris durant l'apprentissage
- Pour produire des **Feature maps**
- Dépendentes de la taille des **receptive fields** (taille des filtres)



Center element of the kernel is placed over the source pixel. The source pixel is then replaced with a weighted sum of itself and nearby pixels.



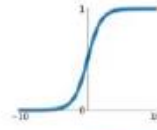
# Les CNN : Activation non lineaire

initial image



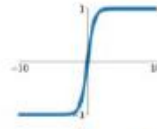
**Sigmoid**

$$\sigma(x) = \frac{1}{1+e^{-x}}$$



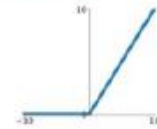
**tanh**

$$\tanh(x)$$



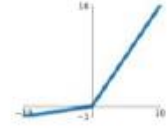
**ReLU**

$$\max(0, x)$$



**Leaky ReLU**

$$\max(0.1x, x)$$



**Maxout**

$$\max(w_1^T x + b_1, w_2^T x + b_2)$$

**ELU**

$$\begin{cases} x & x \geq 0 \\ \alpha(e^x - 1) & x < 0 \end{cases}$$

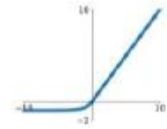


FIGURE 2.5: Activation functions. Figure from <http://cs231n.stanford.edu/>.

Input Feature Map



ReLU

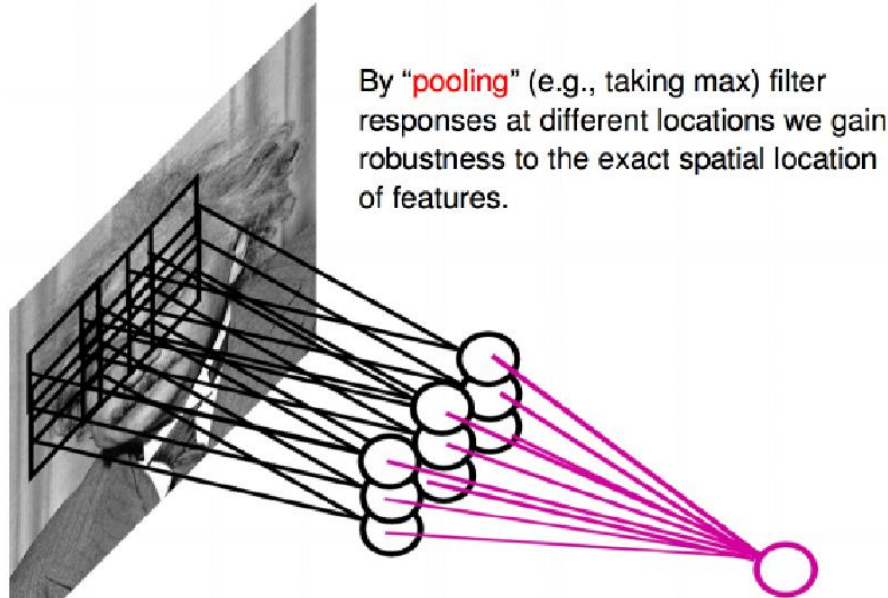


Rectified Feature Map

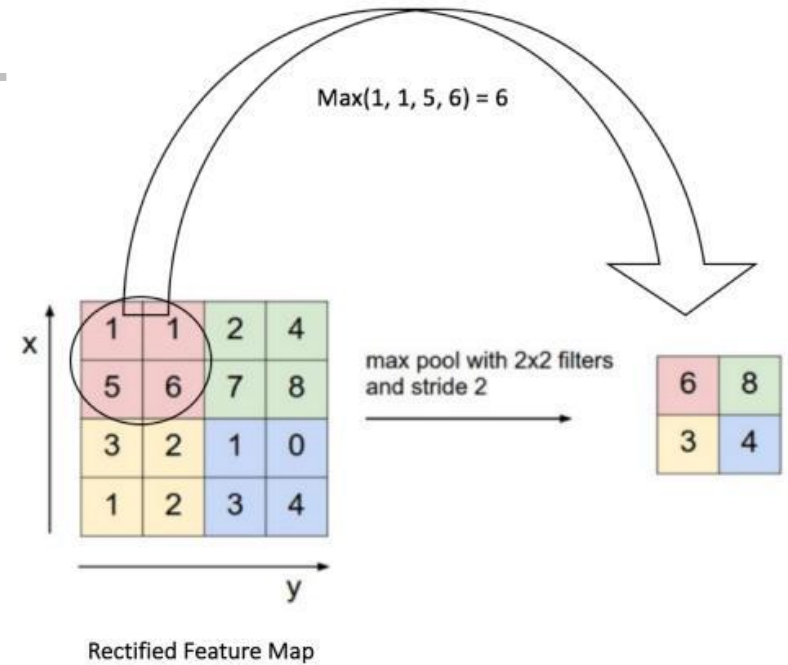


**Activation non-lineaire (Relu, ...)**

# Les CNN : Pooling



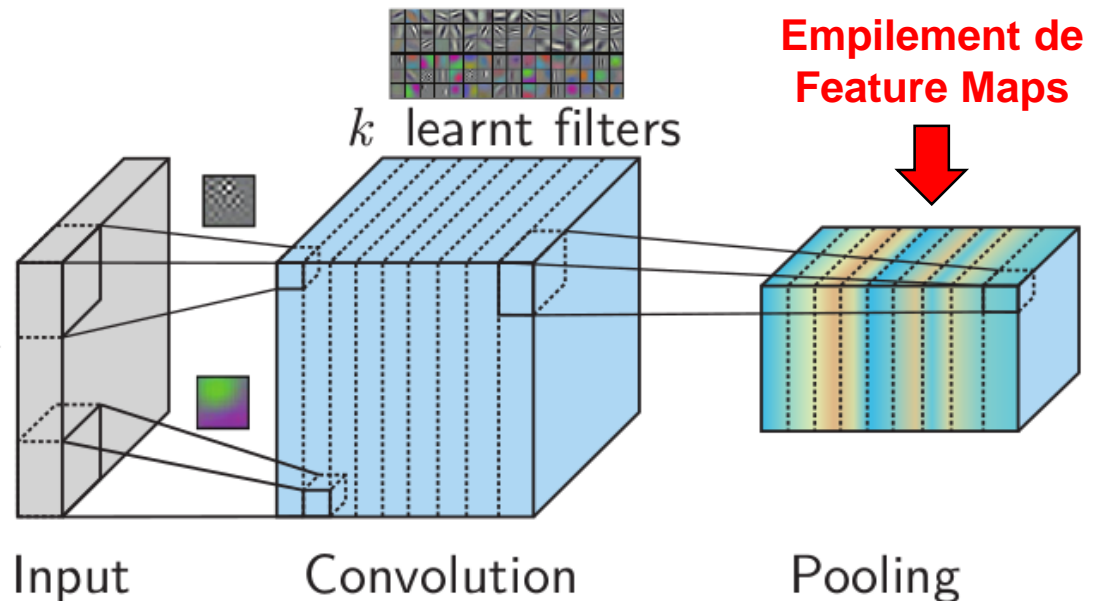
Slide credits: M. A. Ranzatto



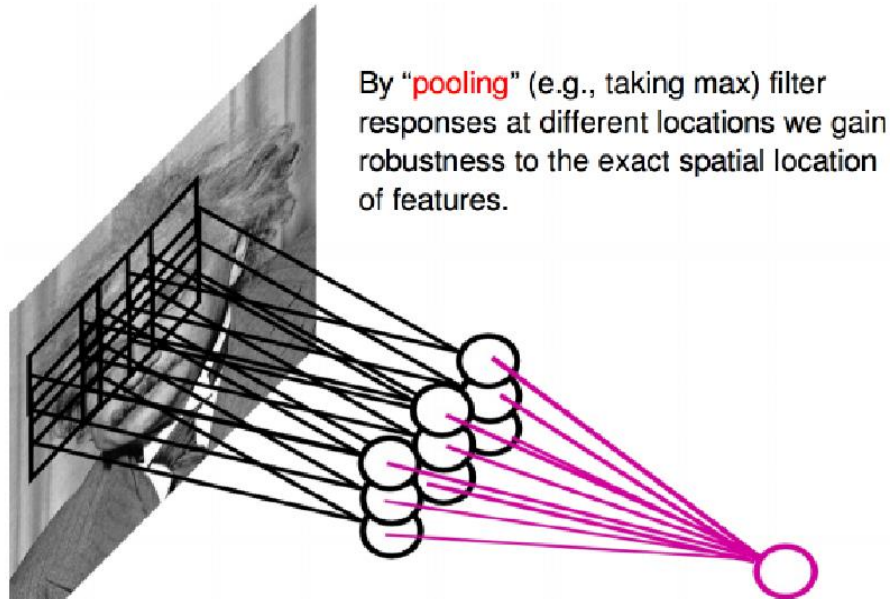
## Pooling

- Max
- Sum
- Average

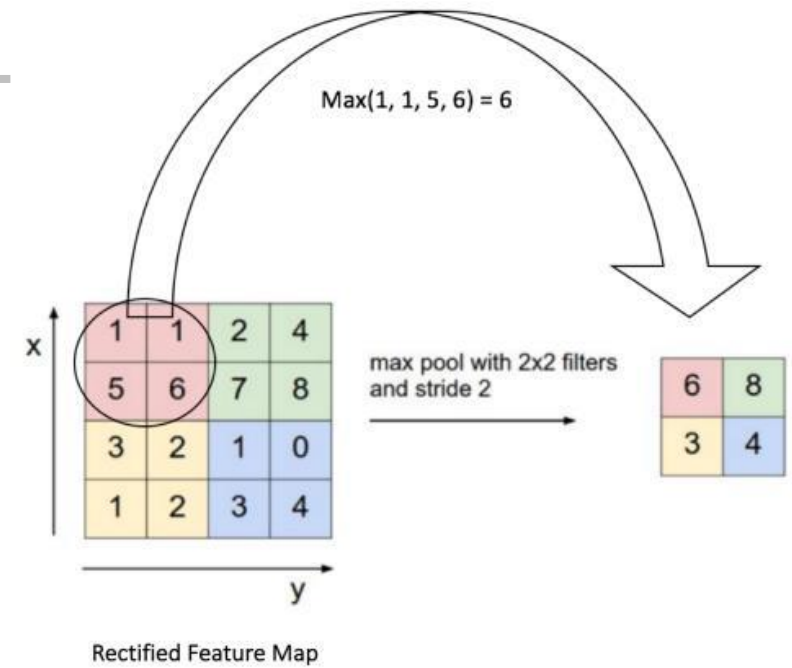
...



# Les CNN : Pooling



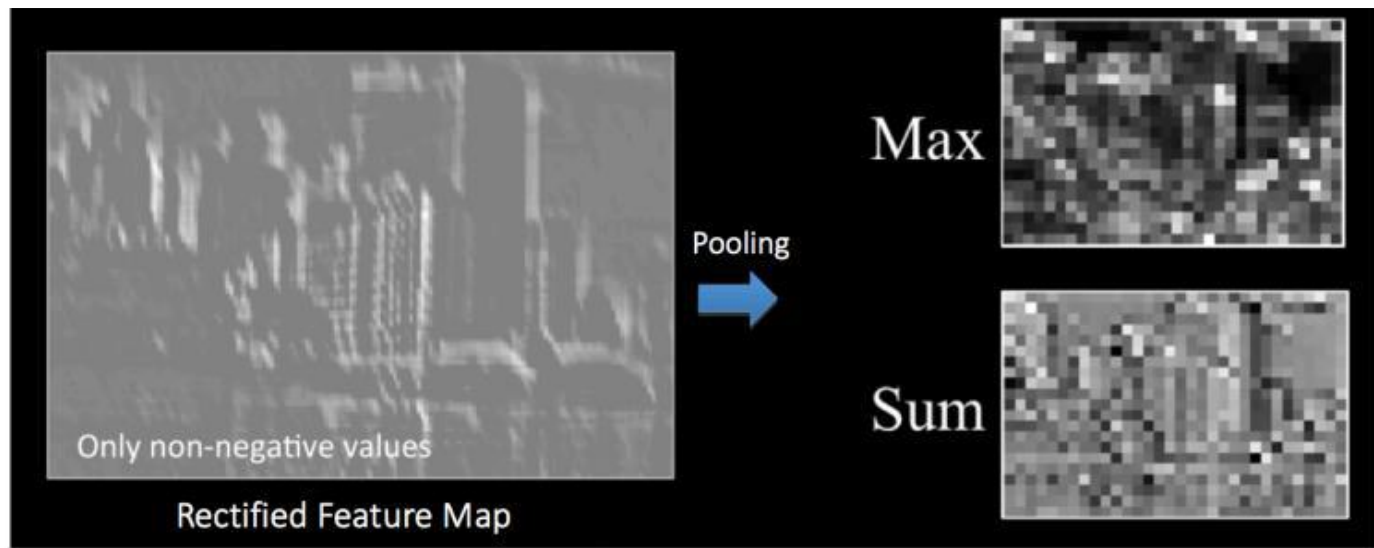
Slide credits: M. A. Ranzatto



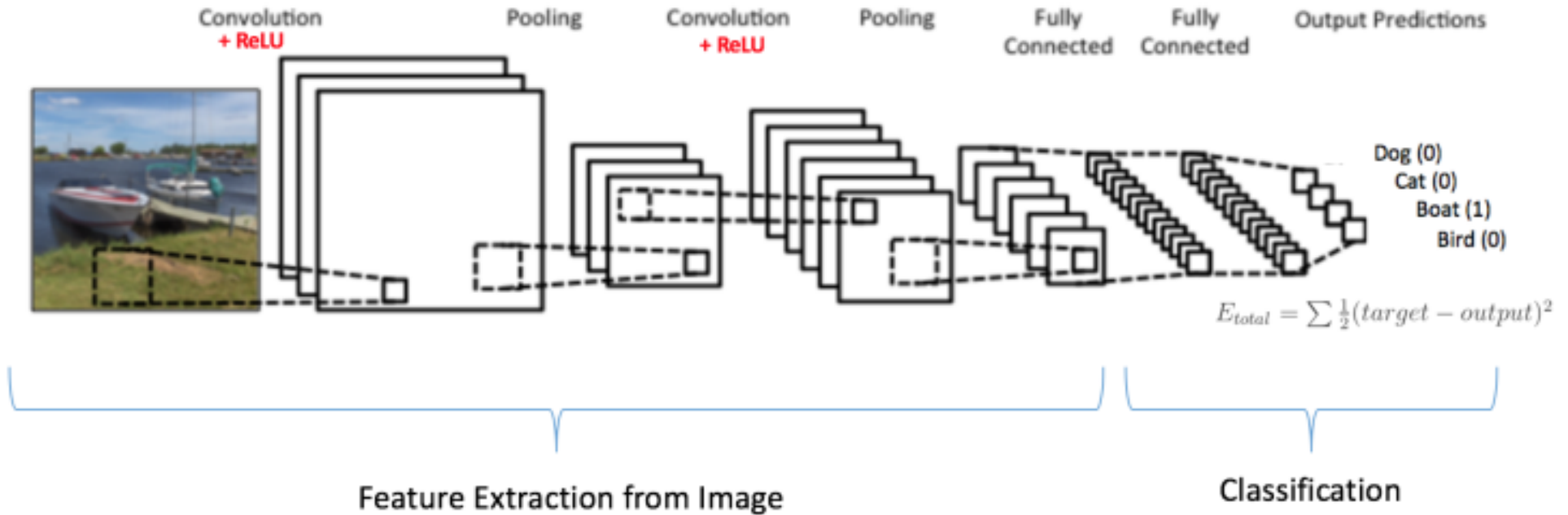
**Pooling** → Regroupement

- Max
- Sum
- Average

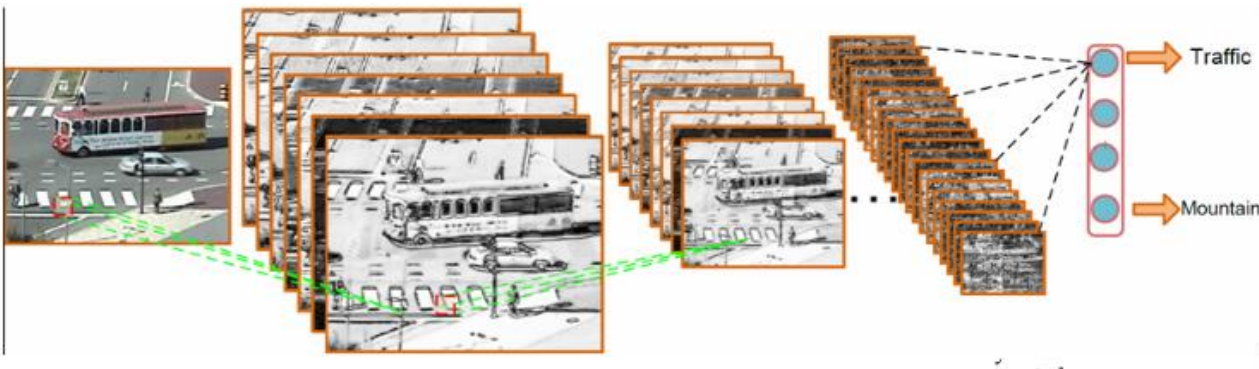
...



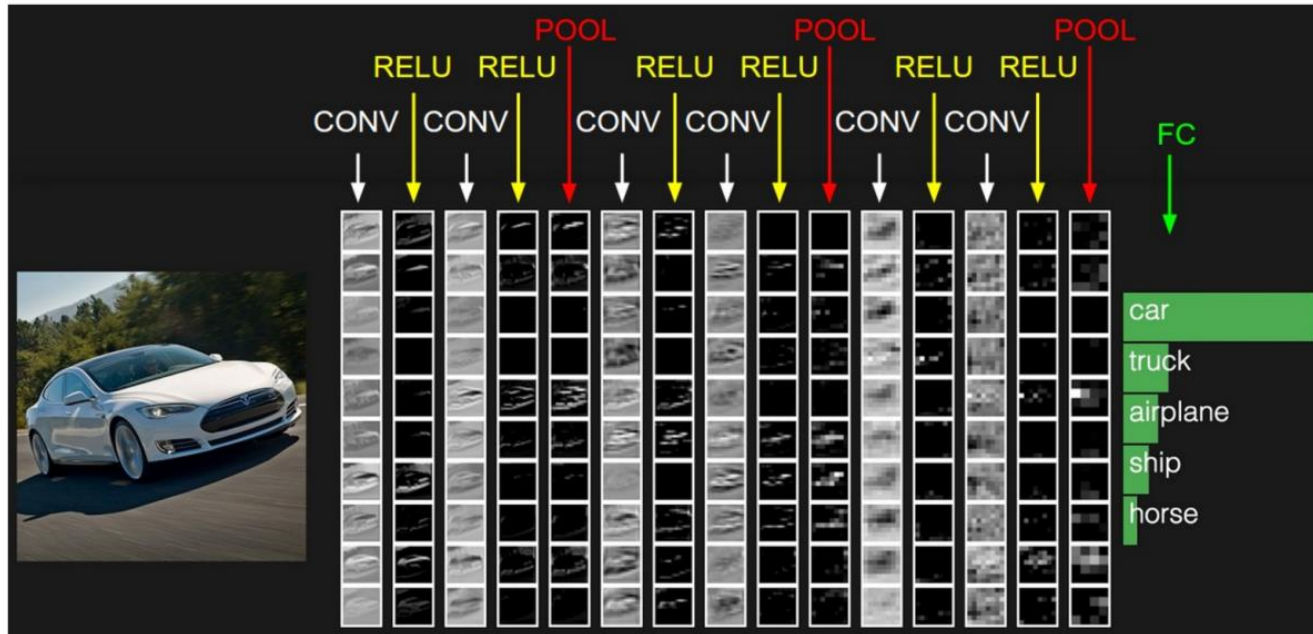
# « Fully Connected Layer » pour finir...



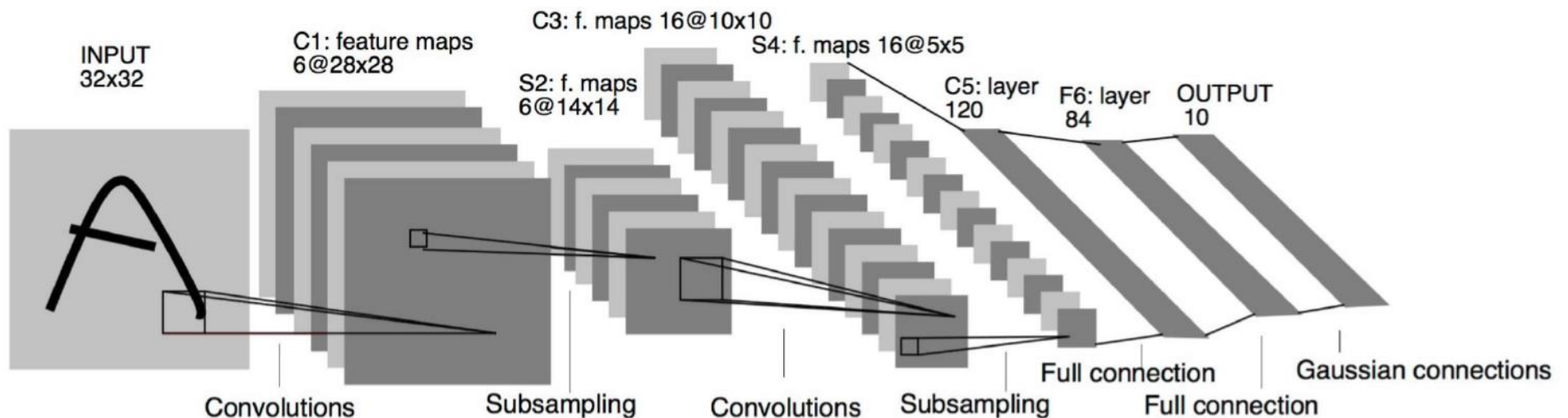
**FCN → MLP classique**  
(connexions non représentées)



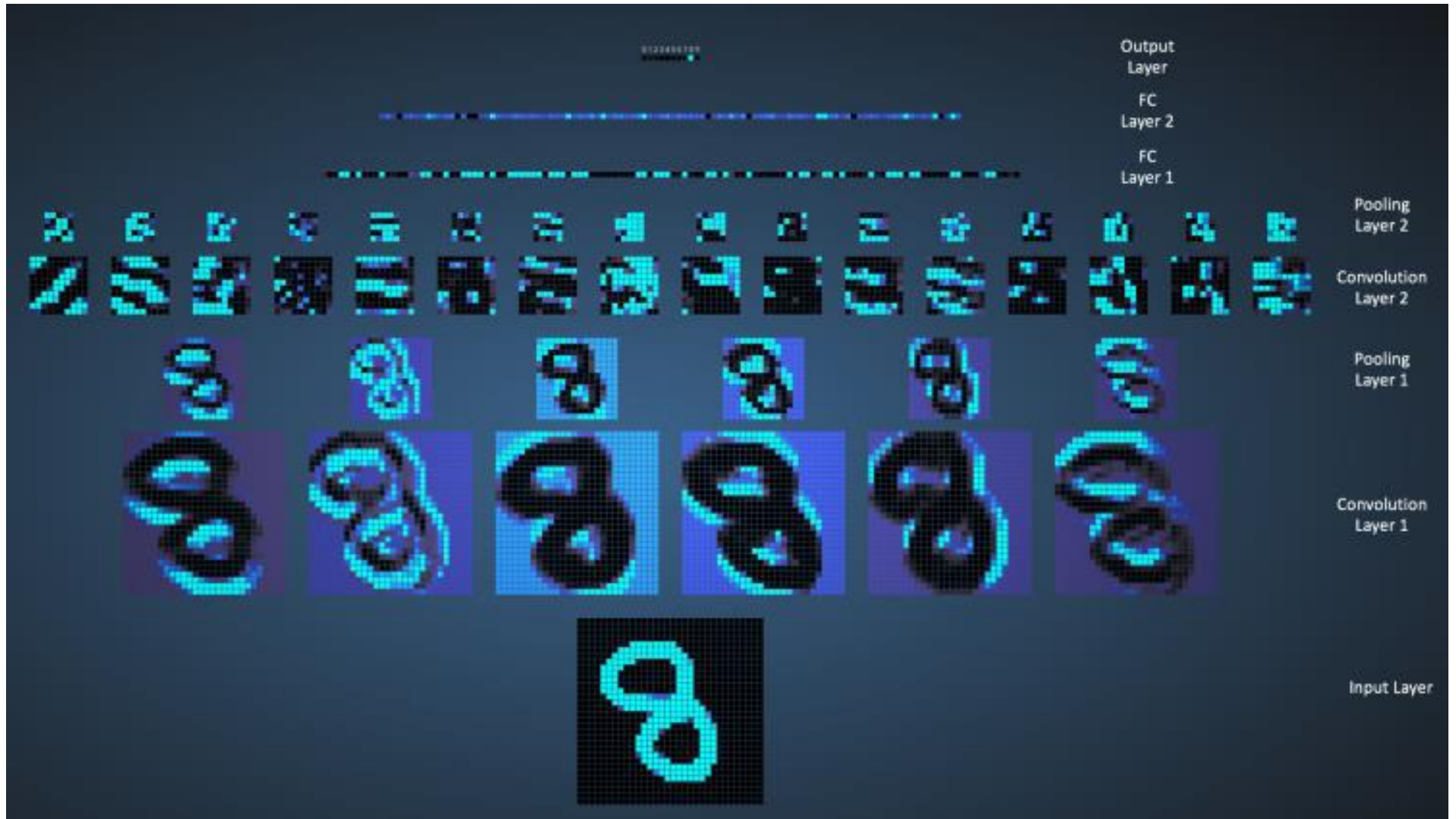
# CNN : Architecture finale



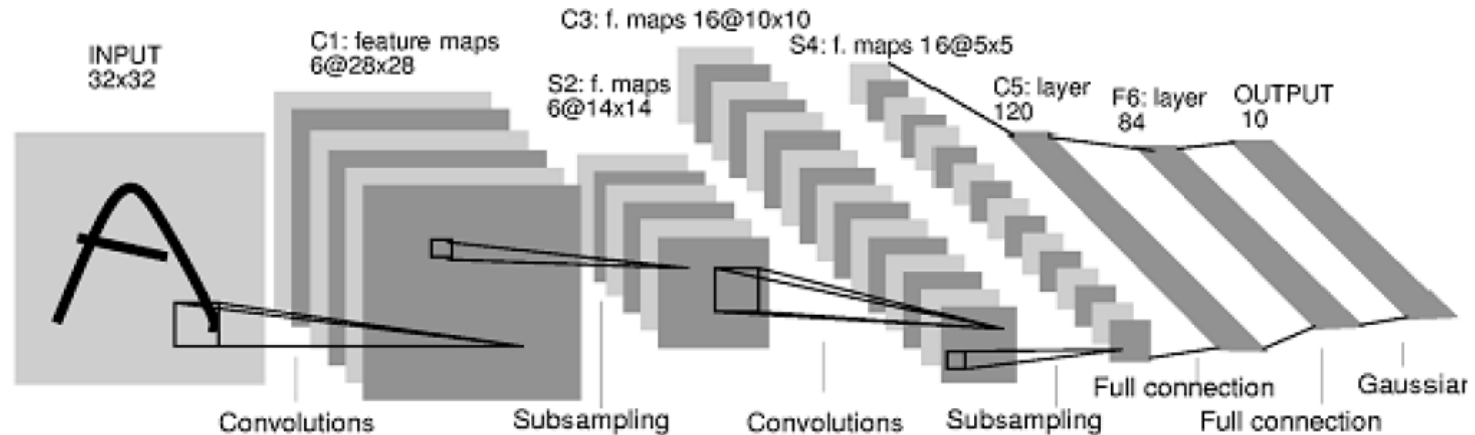
**Remarque:**  
Même après 'simplification',  
reste tous de même des  
Milliers/Millions de  
paramètres à apprendre...



# Visualisation des « Feature Maps »



# Etude de cas LeNET 5



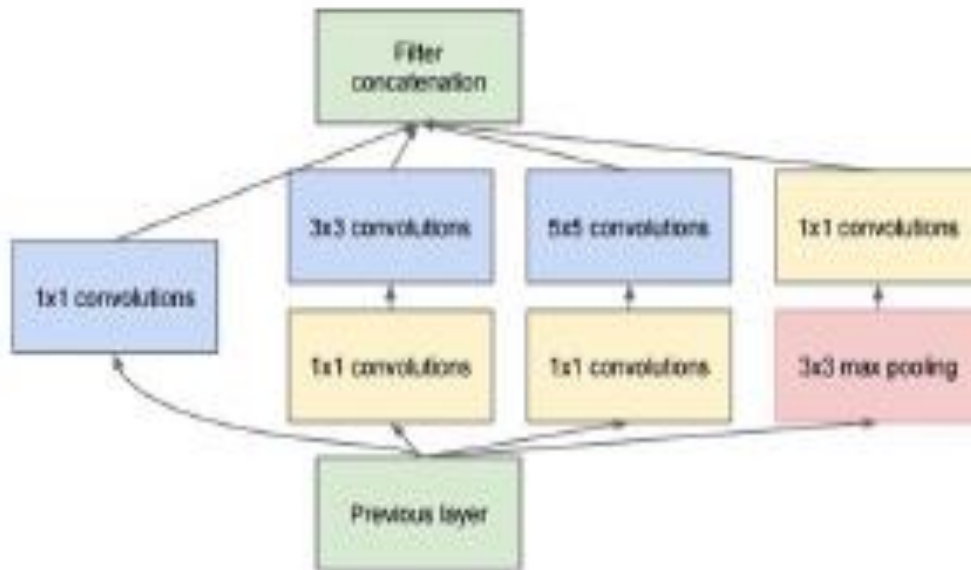
## F6 Layer: Fully Connected layer

- 84 fully connected units.
- # Parameters:  $84 \cdot (120 + 1) = 10164$

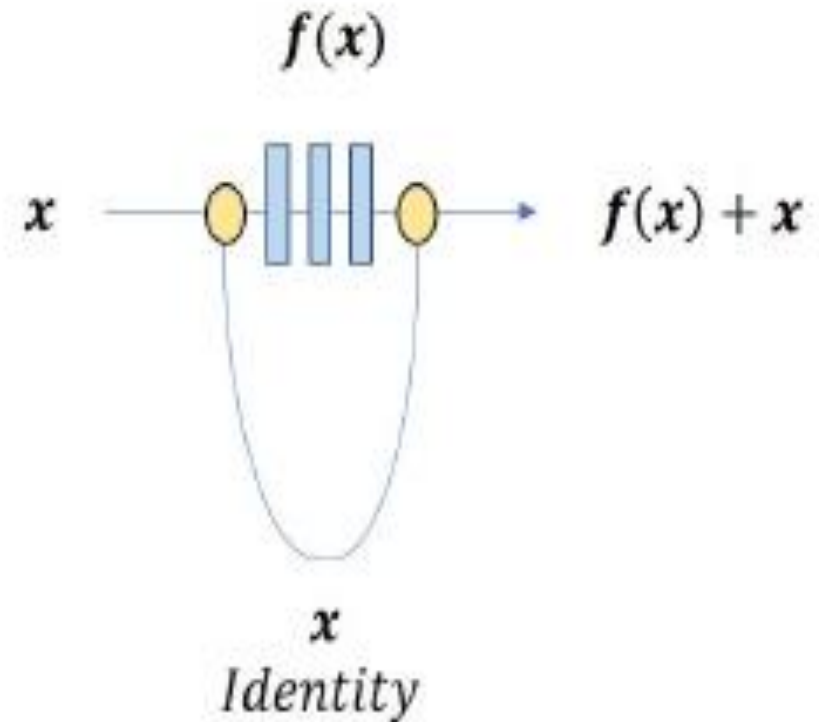
## F7 Layer (output): Fully Connected layer

- 10 (# classes) fully connected units.
- # Parameters:  $10 \cdot (84 + 1) = 850$

# Apparition de différents types de module (blocks)



(A) *Inception module*



(B) *Residual block*

# Apparition de différents types d'architectures

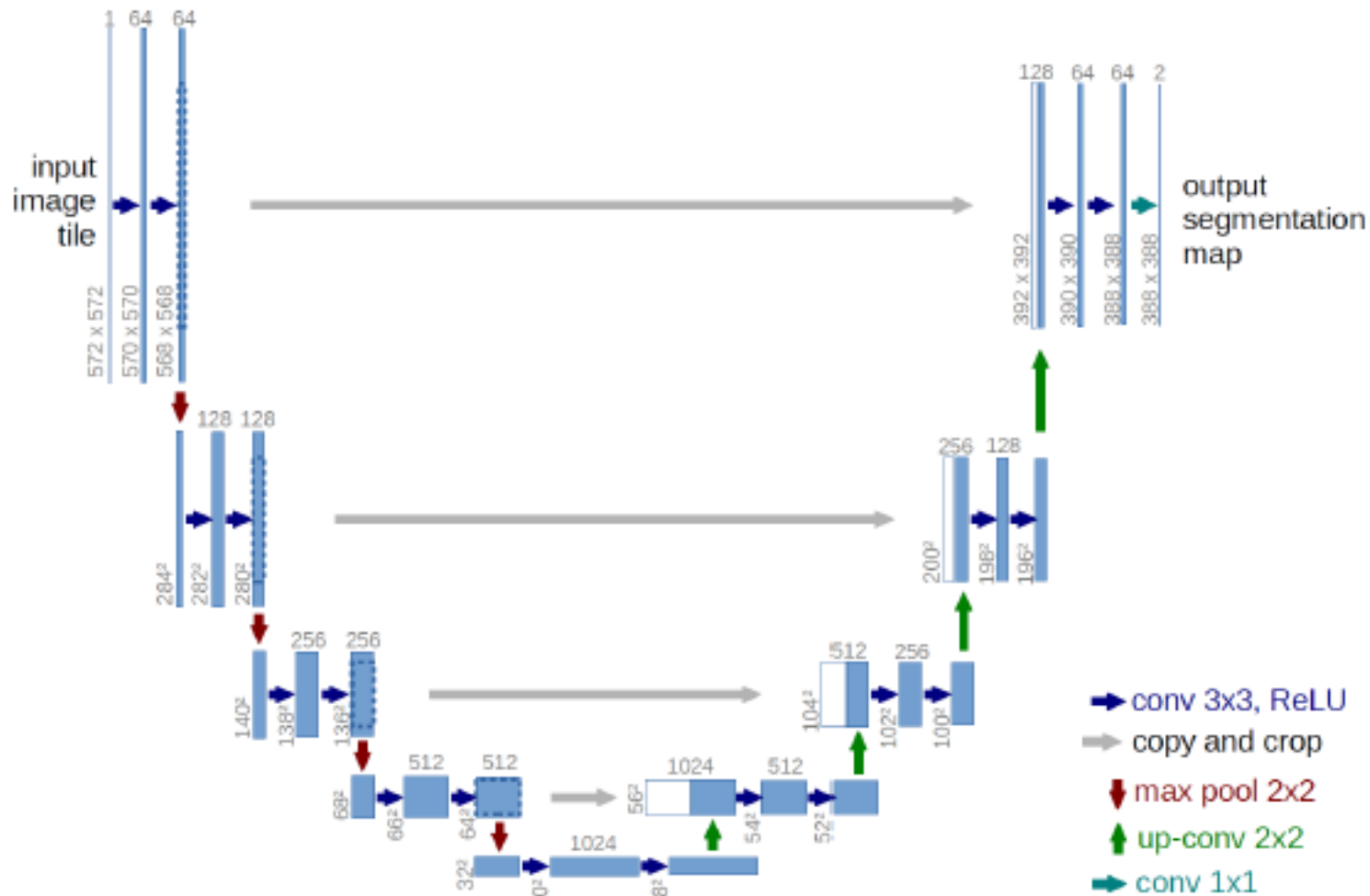
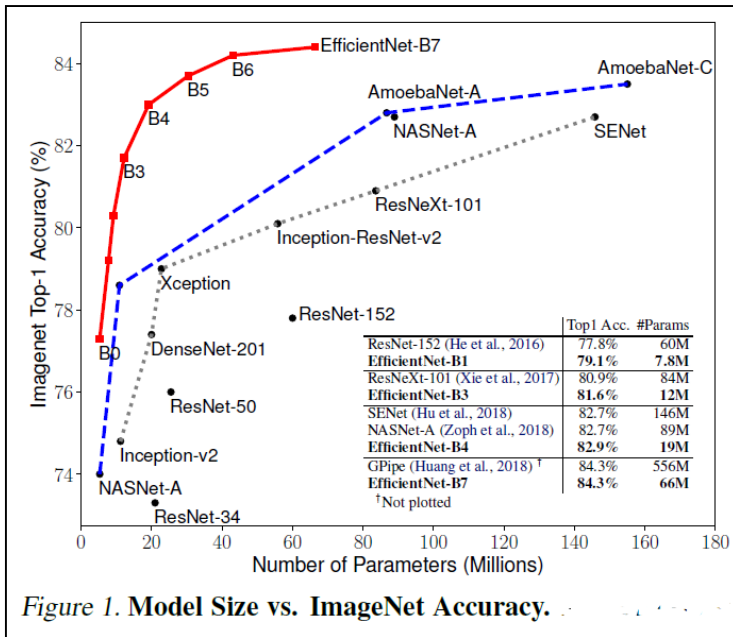


FIGURE 2.11: U-Net architecture. Figures from (Ronneberger et al., 2015).

# Optimiser les architectures

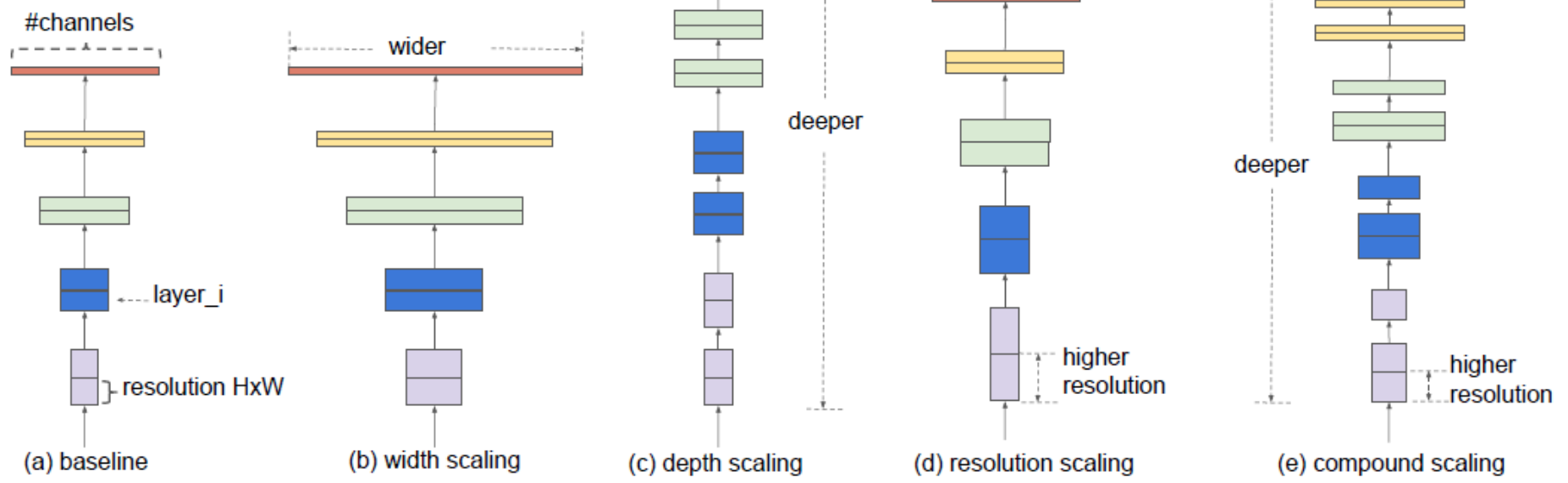


$$\max_{d,w,r} \text{Accuracy}(\mathcal{N}(d, w, r))$$

$$s.t. \quad \mathcal{N}(d, w, r) = \bigodot_{i=1 \dots s} \hat{\mathcal{F}}_i^{d \cdot \hat{L}_i} (X_{\langle r \cdot \hat{H}_i, r \cdot \hat{W}_i, w \cdot \hat{C}_i \rangle})$$

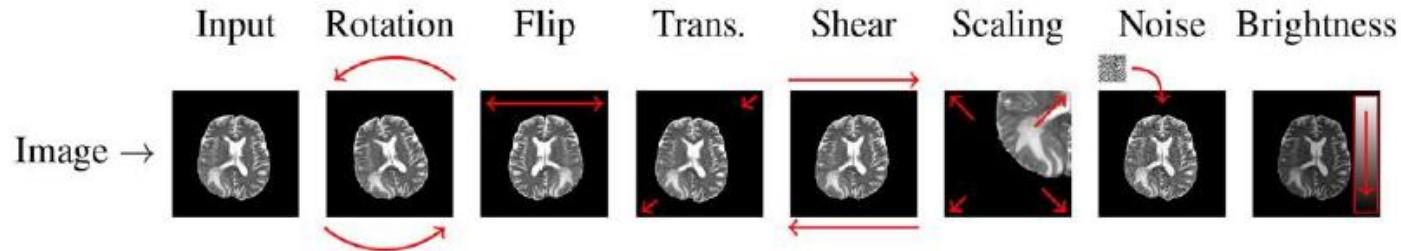
$$\text{Memory}(\mathcal{N}) \leq \text{target\_memory}$$

$$\text{FLOPS}(\mathcal{N}) \leq \text{target\_flops}$$



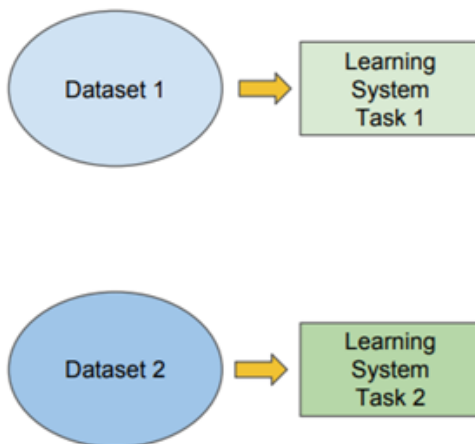
# Data augmentation, Transfer Learning, fine-tuning

## Data augmentation

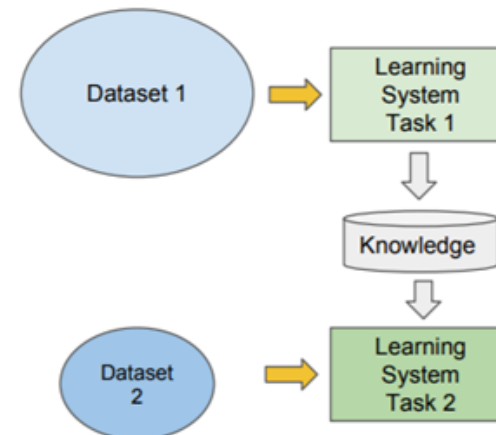


## Apprentissage traditionnel VS transfer Learning

- Isolated, single task learning:
  - Knowledge is not retained or accumulated. Learning is performed w.o. considering past learned knowledge in other tasks

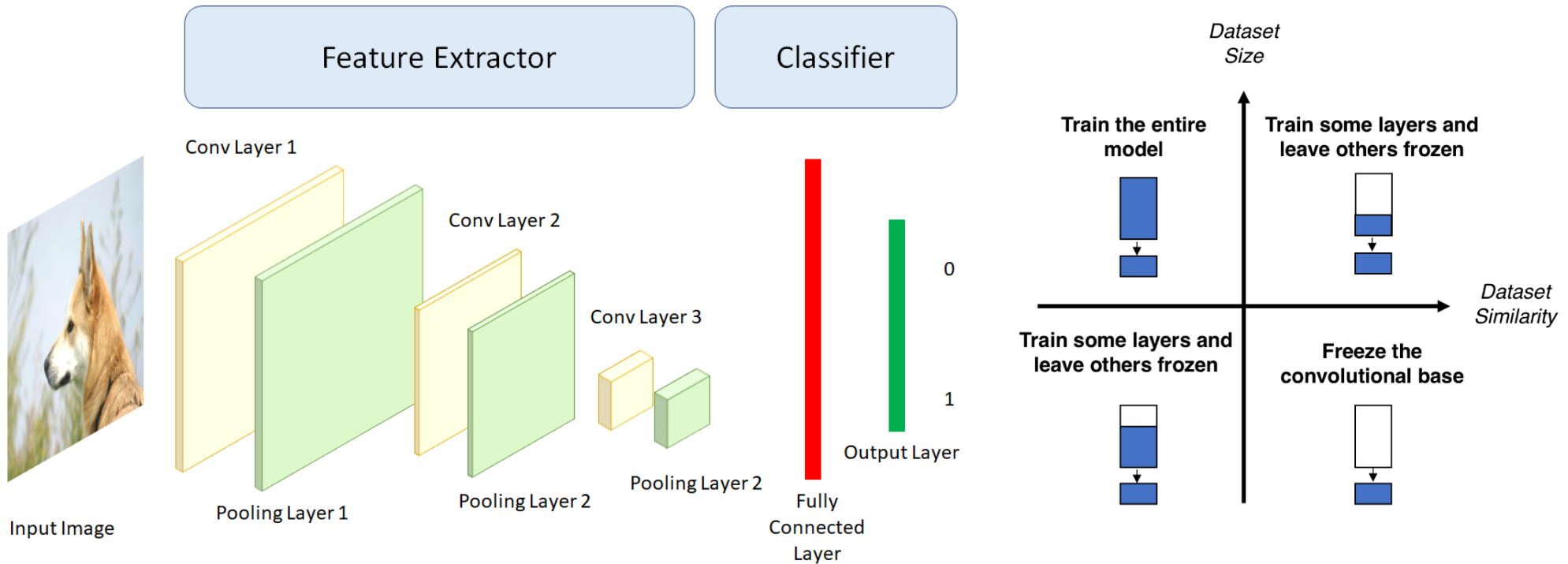


- Learning of a new tasks relies on the previous learned tasks:
  - Learning process can be faster, more accurate and/or need less training data



# Transfer Learning and fine-tuning

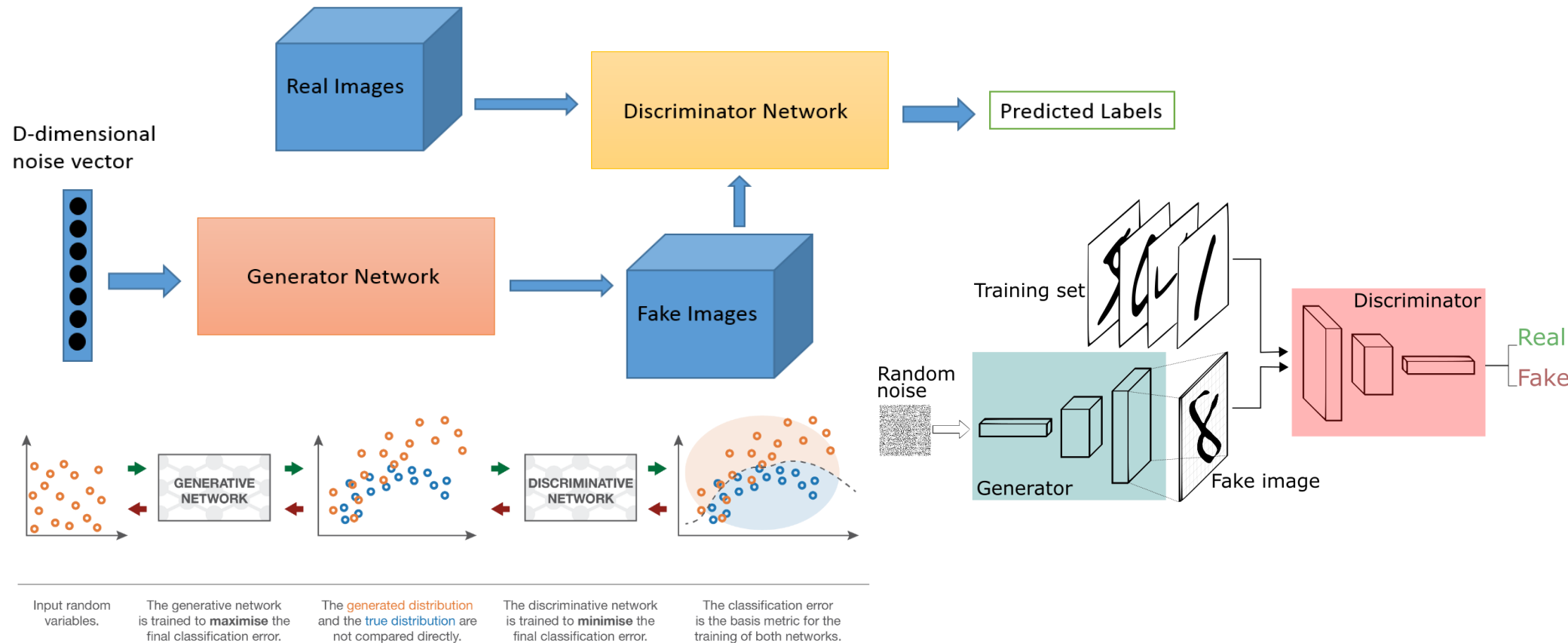
- **Que garder (freeze) ? Que ré-apprendre ?**
  - **Transfer Learning** → Récupération des poids d'un modèle appris et adaptation des poids des couches finales, souvent de la partie "classifier" (en rouge) uniquement
  - **Fine tuning** → **Après le Transfer Learning, ré-apprentissage d'une partie des poids** des couches de convolution (mais pas tous !) avec un **Learning rate** très faible
  - **Choix selon la « ressemblance »** entre dataset 1 (image.net) et dataset 2 (target)



# Self-supervised learning / GAN

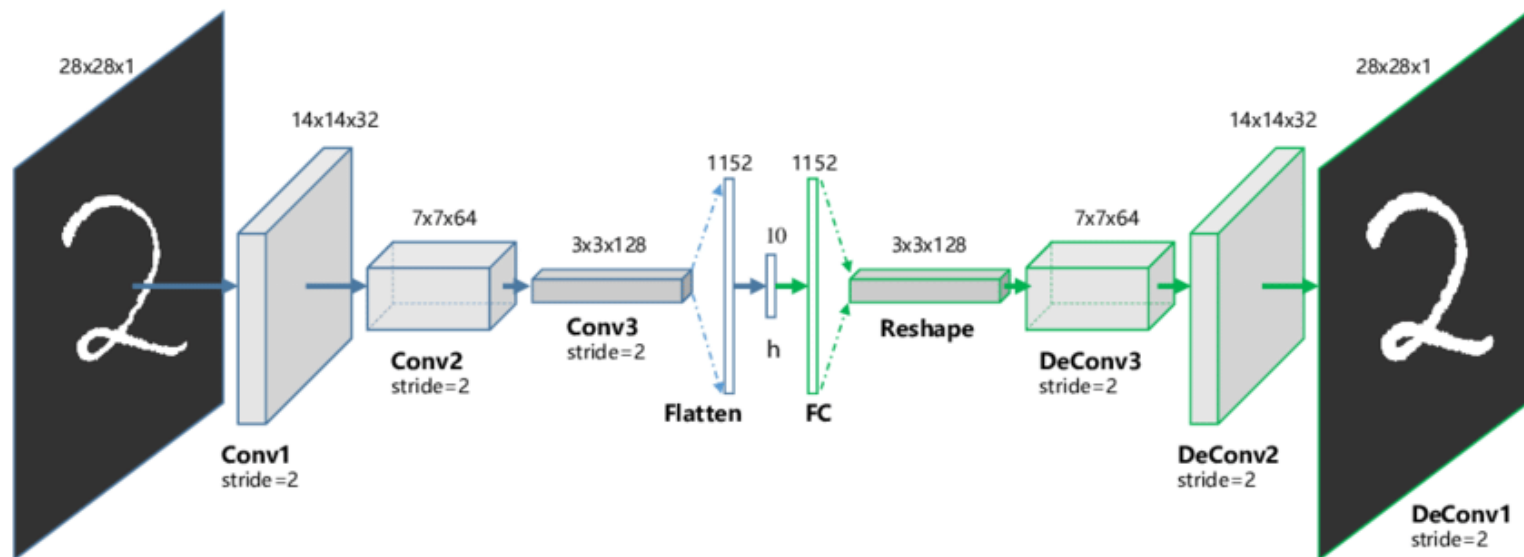
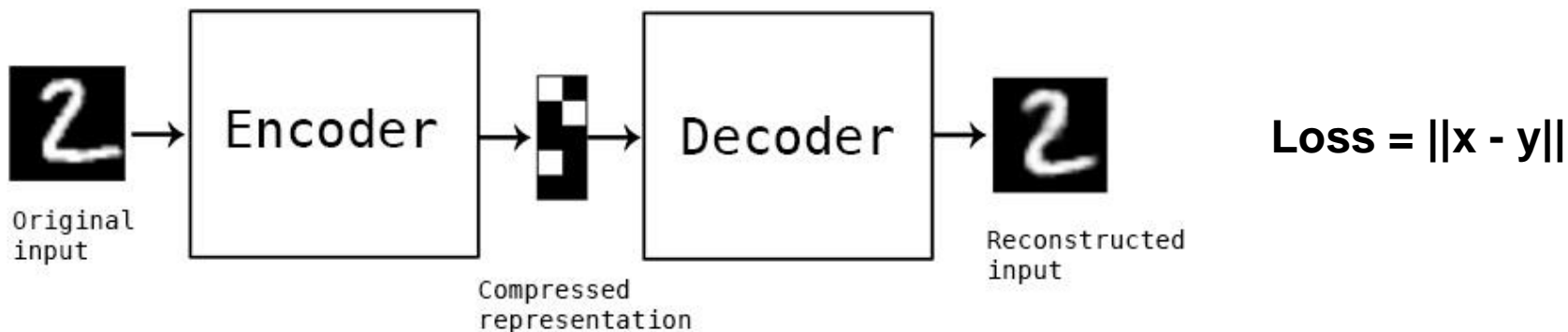
- **Generative Adversarial Networks (GANs)**

- Mise en compétition de 2 parties / architectures :
  - Generator → cherche à maximiser l'erreur
  - Discriminator → cherche à minimiser l'erreur
  - Les 2 modèles doivent être appris (l'un après l'autre alternativement)
- Génération de données d'apprentissage (ou de copies / données « stylisées »)



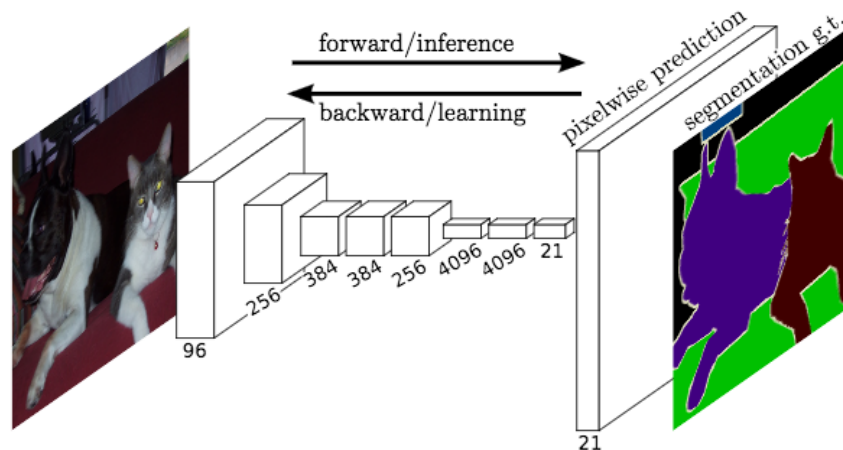
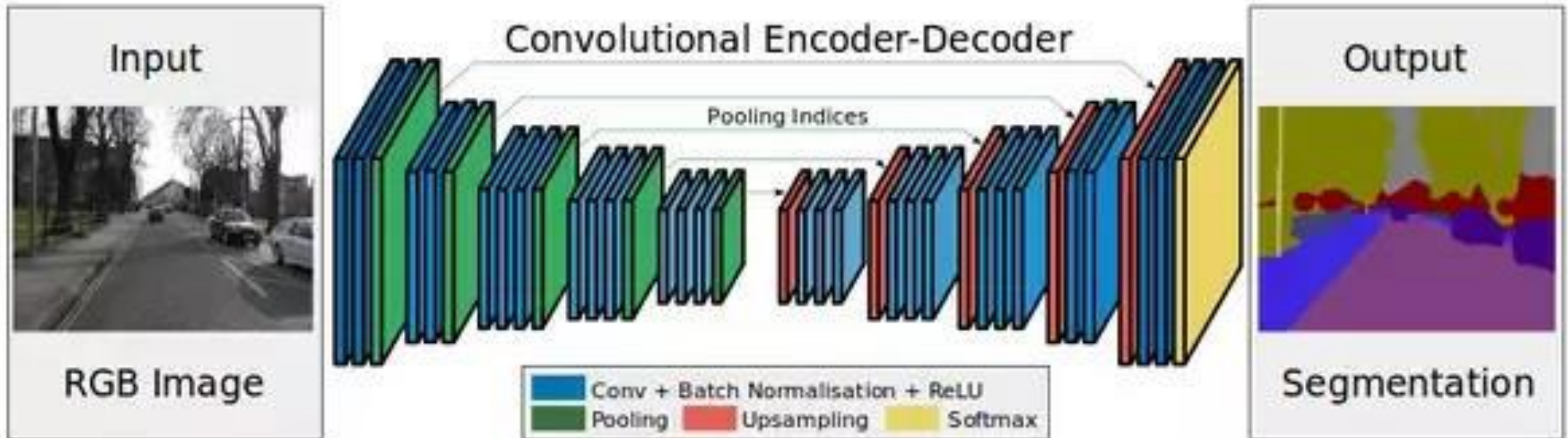
# Self-supervised learning / encoder-decoder

- Les sorties (y) générées peuvent être comparés aux entrées (x)
  - Plus besoin de données annotées manuellement pour apprendre
  - Mise en compétition de 2 parties / architectures : encoder et decoder



# Self-supervised learning / encoder-decoder

- Segmentation sémantique
  - Les sorties générées ( $\hat{y}$ ) peuvent être comparés aux sorties attendues ( $y$ )



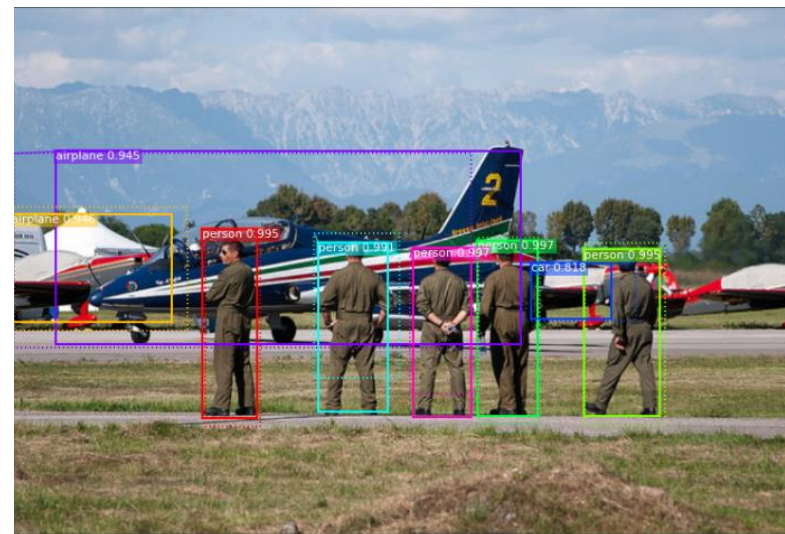
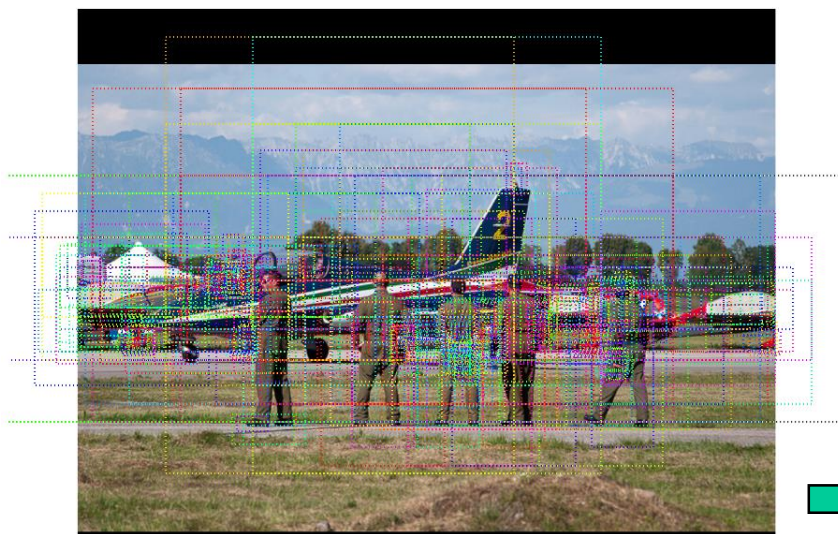
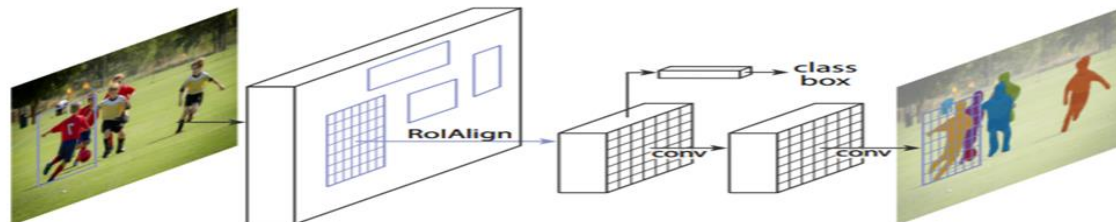
Blue : Pavement  
Green : Tree  
Purple : Cars  
....

# Instance segmentation / Tracking

- Différent de la segmentation sémantique → Détection de « bounding boxes » contenant des instances d'objets

- Mask R-CNN, Faster R-CNN, ...

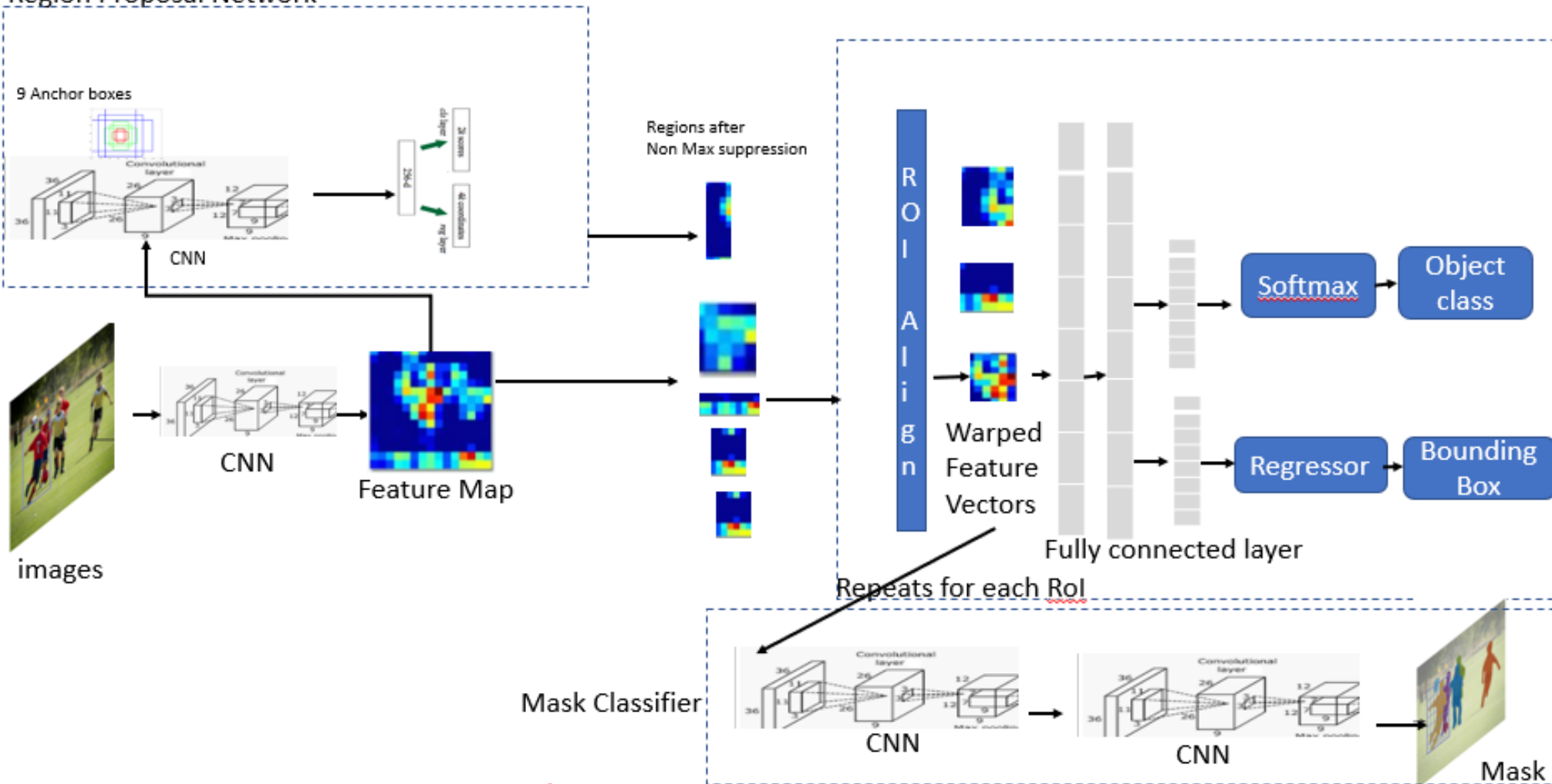
- CNN ResNet101 pour extraire des caractéristiques de l'image
- Réseau de proposition de régions (RPN) → Génération de RoI / Mask
- Binary Mask Classification (pour chaque classe d'objets)
- Suppression des non-maxima



# Instance segmentation / Tracking

R-CNN, Fast R-CNN, Faster R-CNN, YOLO, ...

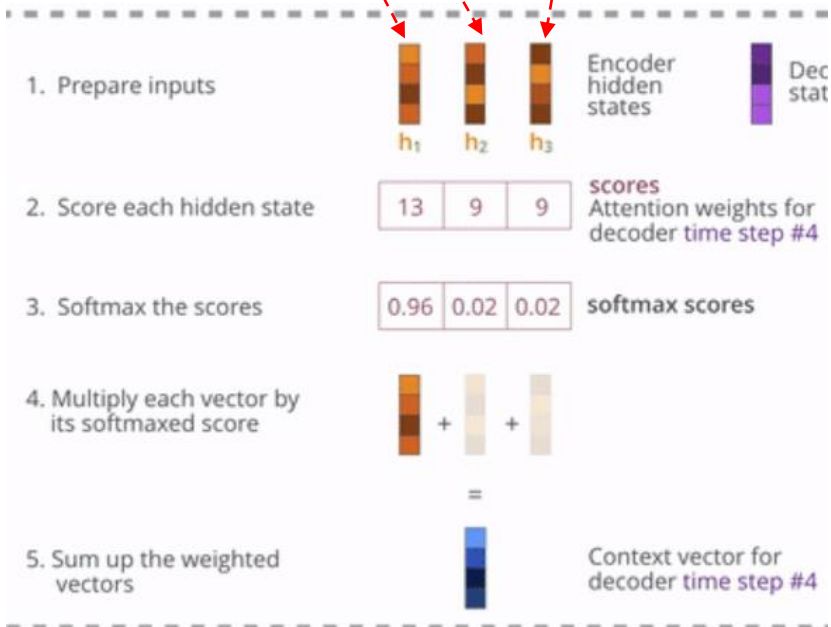
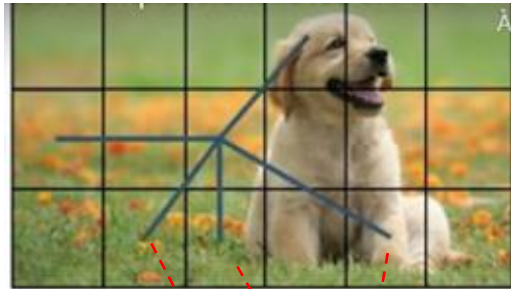
Region Proposal Network



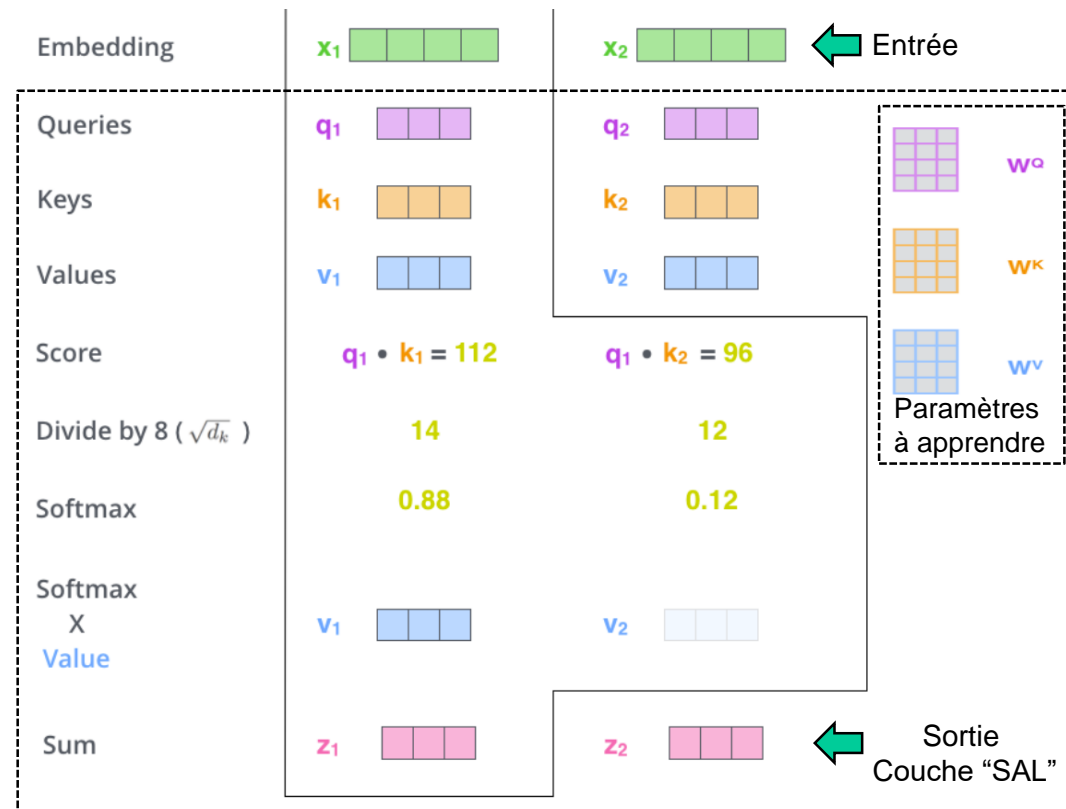
Architecture Mask-RCNN

# Des CNN aux Transformers

- Utilisation d'un mécanisme d'encodage → décodage
- Mécanismes **d'attention** → Pondération de l'importance relative des zones (patches) les unes par rapport aux autres localement



- **Mécanisme 'self-attention Layer'**
  - Avec triplet : Query, Key, Value



# Transformers

## Les details

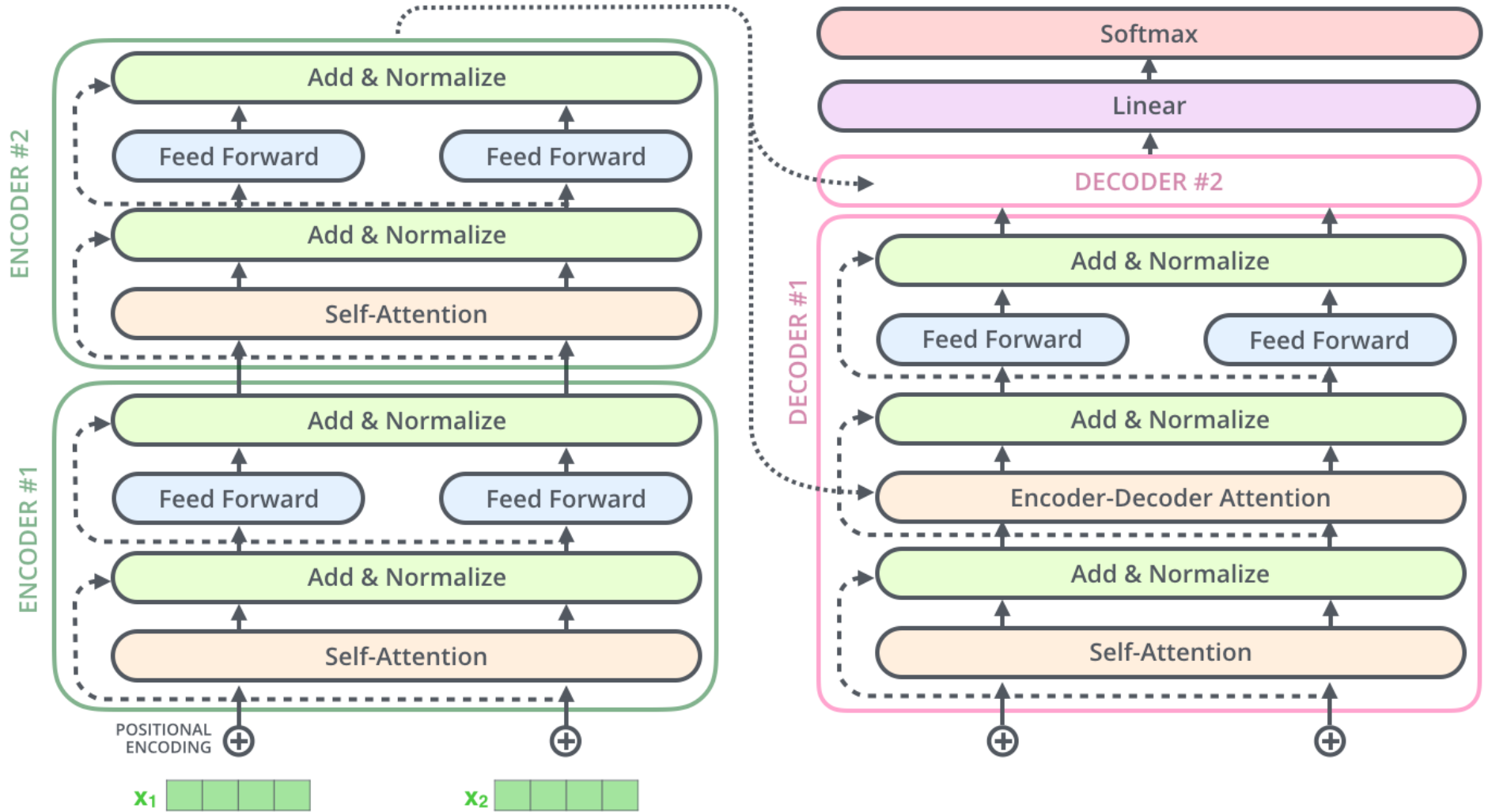


Image Patches

# Deep learning Architecte...

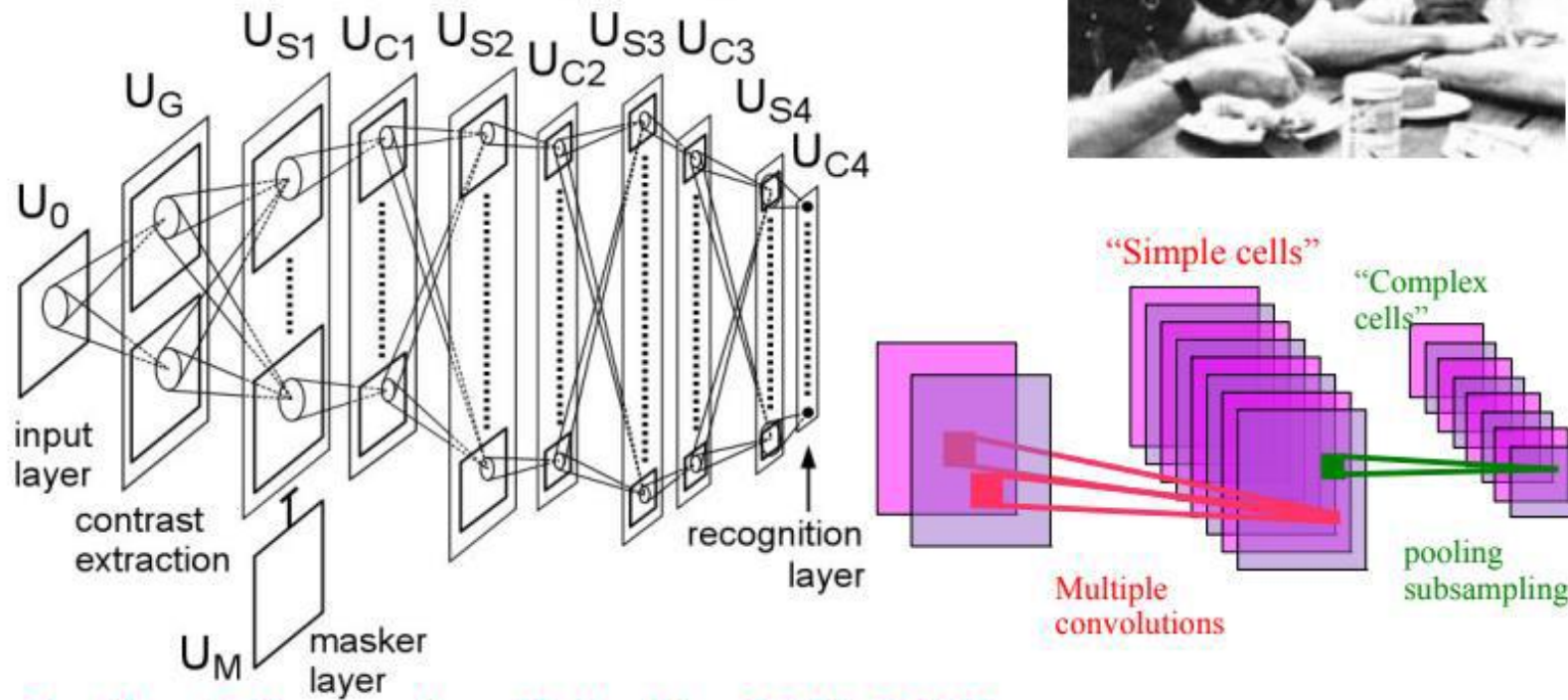
---

- De nombreuses librairies
  - Google → <https://www.tensorflow.org/>
  - FaceBook → <https://pytorch.org/>
  - Differentiable computer vision → <https://kornia.github.io/>
- Partage de modèles
  - **Model Zoo** : open source deep learning code and pretrained models → <https://modelzoo.co/>
  - Etc...

# Epistémologie...

## ■ [Hubel & Wiesel 1962]:

- ▶ **simple cells** detect local features
- ▶ **complex cells** “pool” the outputs of simple cells within a retinotopic neighborhood.



**Cognitron & Neocognitron [Fukushima 1974-1982]**

# Petit contrôle...



## Approche Régions ? CNN ? Autres ? Utilisation pour le TP image Tagging ?

- Expliquez les problématiques de la détection de régions ? Et les principales méthodes ?
- Pourquoi peut on dire que le résultat de la segmentation est un ensemble d'images binaires ?

green	pot-au-feu (.12), salsa (.12), roughage (.11), cow (.11) 
white	kuvasz (.70), Saint Bernard (.67), clumber (.65), wirehair (.62), foxhound (.60), sheet (.49), gerbil (.48), Persian cat (.48), sail (.45), bullterrier (.43) 
round	egg yolk (.75), basketball (.68), button (.63), goulash (.56), basket (.49), ramekin (.47), ball (.42), pot (.42), veloute (.39), miso (.37) 
long	kirsch (.83), sail (.77), orqval (.74), police van (.72), fork (.69), rack (.67), killer whale (.58), window (.54), transporter (.50), pool table (.49) 
striped	barn spider (.36), daisy (.17), zebra (.17), echidna (.16), backboard (.13), drum (.12), coloring (.12), roller coaster (.12), bridge (.11), colobus (.11) 
wet	orqval (.59), sidecar (.55), orangeade (.53), flan (.52), screwdriver (.47), killer whale (.44), bowhead (.43), maraschino (.41), dugong (.40), porpoise (.40) 